4H-EC3EM Ermüdungsnachweis EC 3-1-9 Detailinformationen

Seite überarbeitet Dezember 2023	Kontakt	Program	mmübersicht 🚺	Bestelltext	4
Infos auf dieser Seite				als pdf	_
Eingabeoberfläche	i Schnittgröß	Senimport	🚺 🍬 Ermüdung	snachweis	i
Geometrie u. Material	🚺 🌸 Theorie Er	müdung EC 3-1-9	🚺 🏿 Kerbfalltal	oellen	i
Rechenlaufsteuerung	🚺 🄹 Allgeme	ines	🚺 🍬 Beispiel		i
* Kerbfälle	i Bemess	ungskonzept	i Franbahn Ol	pergurt	i
Schnittgrößen	🚺 🄹 Beanspi	ruchungen	i Untergurt		i

Eingabeoberfläche

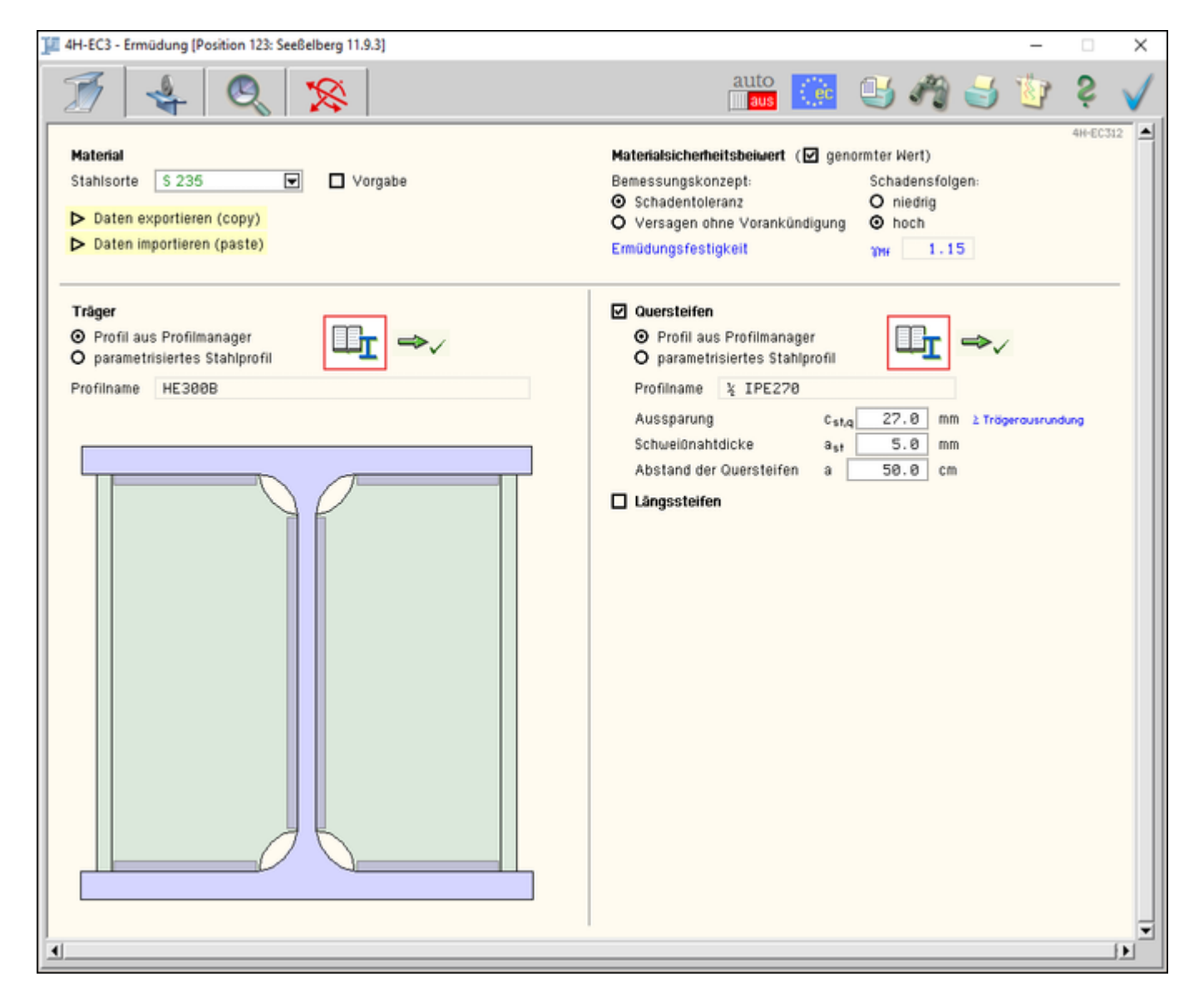


Bild vergrößern 🍳

EC 3-1-9, Ermüdungsnachweis

Mit dem Programm 4H-EC3EM, Ermüdungsnachweis, wird ein Doppel-T-Profil unter



Errmüdungsbelastung nachgewiesen.

Die zugehörigen Eingabeparameter werden in eigenen Registerblättern verwaltet, die über folgende Symbole die dahinter liegende Parameterauswahl kenntlich machen.



Geometrie und Material

Im ersten Registerblatt werden das Trägerprofil beschrieben und die Stahlgüte festgelegt. Der Querschnitt wird zur visuellen Kontrolle maßstäblich am Bildschirm dargestellt.



Kranbahn / Ermüdungsnachweis

Im zweiten Registerblatt werden die Kranbahn sowie die nachweisrelevanten Parameter für den Ermüdungsnachweis angegeben.



Kerbfälle

Im dritten Registerblatt werden die Kerbpunkte und -spannungen definiert.



Bemessungsschnittgrößen

Die Schnittgrößen werden im vierten Registerblatt festgelegt und können entweder 'per Hand' eingegeben oder aus einem pcae-Programm importiert werden.

Um Schnittgrößen importieren zu können, muss das entsprechende *4H*-Programm in der exportfähigen Version installiert sein.

Die Schnittgrößen beziehen sich auf den Schwerpunkt des ggf. ausgesteiften Profils und das Koordinatensystem der Statik (x-y-z bzw. l-m-n).



automatische Onlineberechnung

Dieser Schalter kann *an* oder *aus* sein. Ist er *an*, wird das Berechnungsergebnis online während der Eingabe aktualisiert und am Bildschirm protokolliert.



nationaler Anhang

Weiterhin ist zur vollständigen Beschreibung der Berechnungsparameter der dem Eurocode zuzuordnende nationale Anhang zu wählen.

Über den **NA-Button** wird das entsprechende Eigenschaftsblatt aufgerufen.



Ausdrucksteuerung

Im Eigenschaftsblatt, das nach Betätigen des *Druckeinstellungs*-Buttons erscheint, wird der Ausgabeumfang der Druckliste festgelegt.



Druckliste einsehen

Das Statikdokument kann durch Betätigen des *Visualisierungs*-Buttons am Bildschirm eingesehen werden.



Ausdruck

Über den *Drucker*-Button wird in das Druckmenü gewechselt, um das Dokument auszudrucken. Hier werden auch die Einstellungen für die Visualisierung vorgenommen.



Planbearbeitung

Über den *Pläne-*Button wird das pcae-Programm zur Planbearbeitung aufgerufen.

Der aktuelle Querschnitt wird im pcae-Planerstellungsmodul dargestellt, kann dort weiterbearbeitet, geplottet oder im DXF-Format exportiert werden.



Onlinehilfe

Über den *Hilfe*-Button wird die kontextsensitive Hilfe zu den einzelnen Registerblättern aufgerufen.

Eingabe beenden



Das Programm kann mit oder ohne Datensicherung verlassen werden.

Bei Speichern der Daten wird die Druckliste aktualisiert und in das globale Druckdokument eingefügt.

Geometrie und Material



im Register 1 werden die Material- und Geometrie-Parameter festgelegt

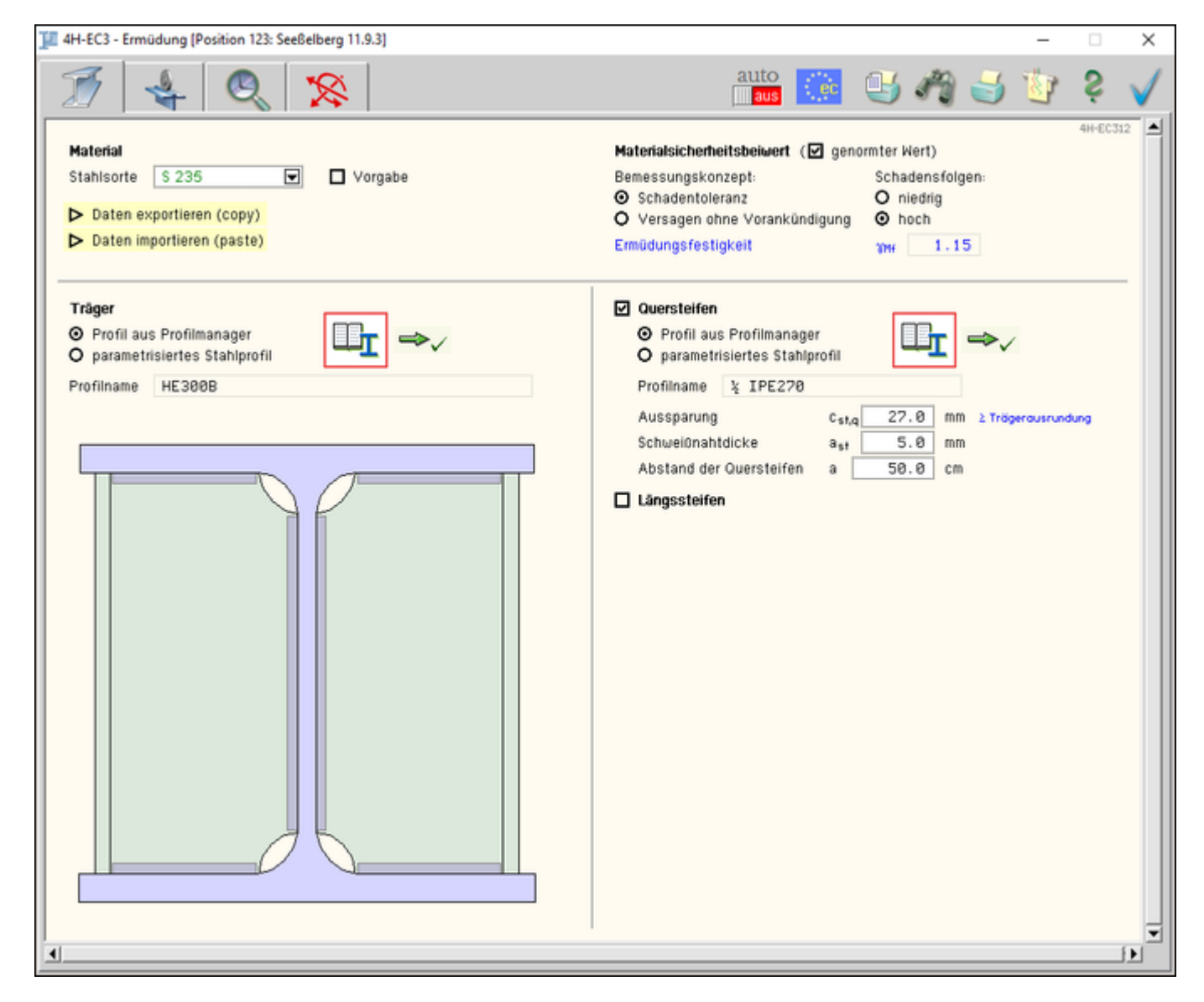


Bild vergrößern (4)

Materailsicherheitsbeiwerte

Im Programm 4H-EC3EM werden nach EC 3-1-9 folgende Materialsicherheitsbeiwerte herangezogen.



Die Werte können entweder in Abhängigkeit des Bemessungskonzepts und der Schadensfolgen den entspr.

Normen (s.a. Nationaler Anhang) entnommen oder vom Anwender direkt vorgegeben werden.

Stahlsorte

Es wird eine einheitliche Stahlgüte für die Einzelelemente (Trägerprofil, Quersteifen, Längssteifen, Kranschiene) festgelegt.

Stahlsorte	S 235	▼	□ Vor	gabe
------------	-------	---	-------	------

Da die Beschreibung der Stahlparameter nach EC3 programmübergreifend identisch ist, wird auf die allgemeine Beschreibung der **Stahlsorten** verwiesen.

Export / Import

Die Eingabedaten können über die Copy-Paste-Funktion von einem Bauteil in ein anderes übertragen werden.

Daten exportieren (copy)Daten importieren (paste)

Dazu ist der aktuelle Datenzustand im abgebenden Bauteil über den Button *Daten exportieren* in die Zwischenablage zu kopieren und anschließend über den Button *Daten importieren* in das aktuell geöffnete Bauteil aus der Zwischenablage zu übernehmen.

Diese Funktionalität ermöglicht es außerdem, die Eingabedaten aus dem Programm 4H-EC3EM, Ermüdungsnachweis, in die Programme 4H-EC3BL, Beulen, oder 4H-EC3LK, Lasteinleitung aus Kranbahn, zu übertragen.

Die Daten können natürlich auch zurücktransportiert werden.

Geometrie

Das Programm 4H-EC3EM weist die Ermüdungstragfähigkeit eines typisierten Doppel-T-Profils nach.

Die Parameter des Trägerprofils können dabei entweder über den pcae-eigenen *Profilmanager* in das Programm importiert oder als *typisiertes Stahlprofil* parametrisiert eingegeben werden.



Um ein Profil aus dem Angebot des Profilmanagers zu wählen, ist der grün unterlegte Pfeil zu betätigen.

Das externe Programm wird aufgerufen und ein Profil kann aktiviert werden. Bei Verlassen des Profilmanagers werden die benötigten Daten übernommen und der Profilname protokolliert.

Zur Definition eines parametrisierten Profils wird zunächst seine Klasse über eine Listbox festgelegt, anhand derer bestimmt wird, welche weiteren Parameter freigelegt werden.

Das Programm berechnet Träger mit Doppel-T-Profilen (I, H-, DIL-, S-, W-Profile).

Andere Profilklassen sind in der Listbox farblich gekennzeichnet und können nicht verwendet werden.



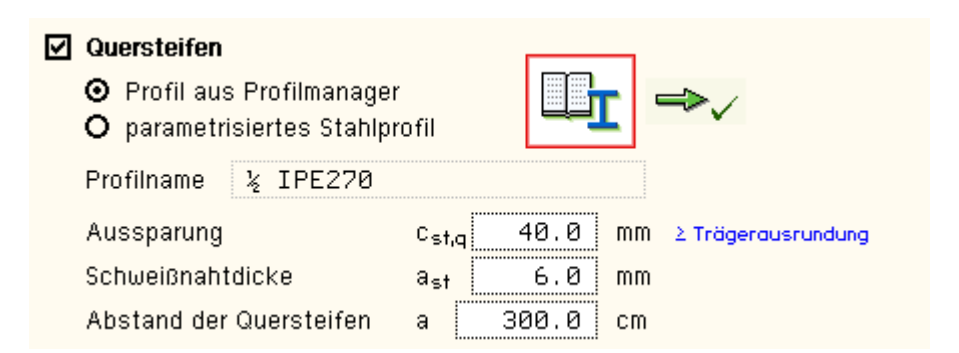
Bei gewalzten Profilen werden die Ausrundungsradien zwischen Flansch und Steg geometrisch berücksichtigt, während geschweißte Blechprofile mit Schweißnähten zusammengefügt sind.

Diese Schweißnähte werden nicht nachgewiesen.

Das Trägerprofil kann mittels vertikaler Quersteifen unterstützt werden.

Die St. können ebenso entweder aus dem Profilmanager ausgewählt oder parametrisiert eingegeben werden.

Als Quersteifen stehen Winkel-, U- bzw. C-, T- bzw. 1/2I-, Trapez-Profile und Flachstähle zur Verfügung, wobei Trapezprofil und Flachstahl nur parametrisiert eingegeben werden können.



Zur Bestimmung der Kerbfälle sind die Aussparung der Quersteife an der Verbindung zwischen Trägerflansch und -steg (Trägerausrundung oder Trägerschweißnaht) sowie die Schweißnahtdicke zwischen Quersteife und Trägerprofil anzugeben.

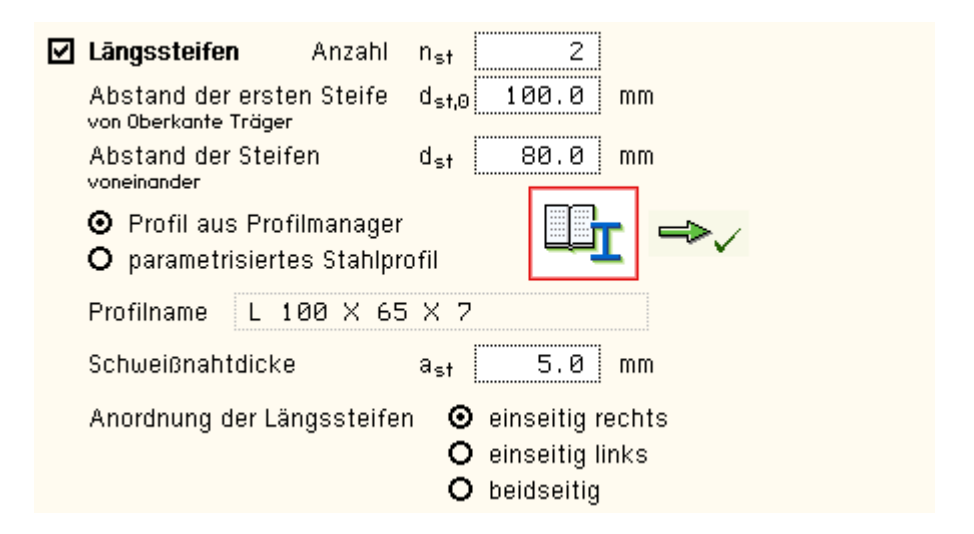
Außerdem ist der Abstand der Quersteifen voneinander für die Berechnung erforderlich.

Der Trägersteg kann längs ausgesteift sein. Dazu können bis zu fünf Längssteifen mit äquidistantem Abstand voneinander angeordnet werden.

Zunächst ist die Anzahl an Steifen festzulegen, anschießend der Abstand der ersten Steife von Oberkante Träger bzw. vom oberen Blechrand sowie der Abstand der Steifen voneinander.

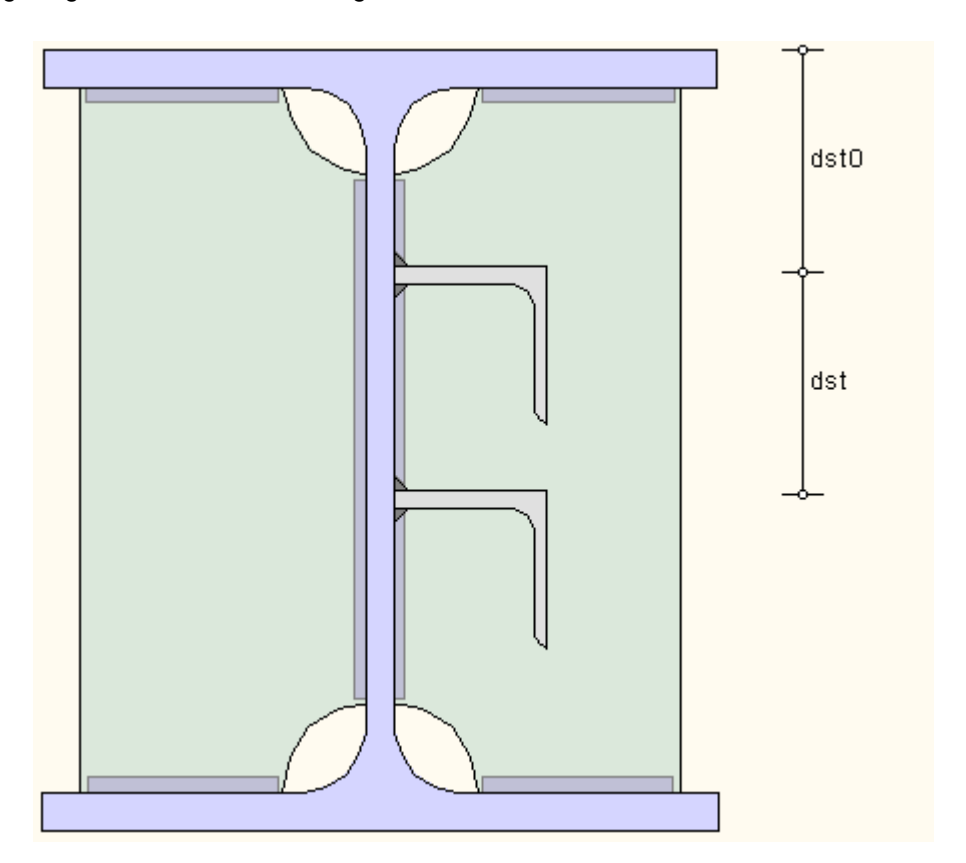
Es ist darauf zu achten, dass die Steifen sich nicht berühren bzw. überschneiden!

Das Steifenprofil wird dann analog zu den Quersteifen definiert.



Zur Bestimmung der Kerbfälle sind Schweißnahtdicke sowie die Lage der Längssteifen am Trägersteg anzugeben.

Zur visuellen Kontrolle wird das ausgewählte Profil einschl. Längs- und Quersteifen maßstäblich am Bildschirm angezeigt. Die Abstände der Längssteifen sind bezeichnet.



Rechenlaufsteuerung



im Register 2 befinden sich die Angaben zur Belastung des Trägers durch eine Kranbahn sowie nachweisspezifische Einstellungen

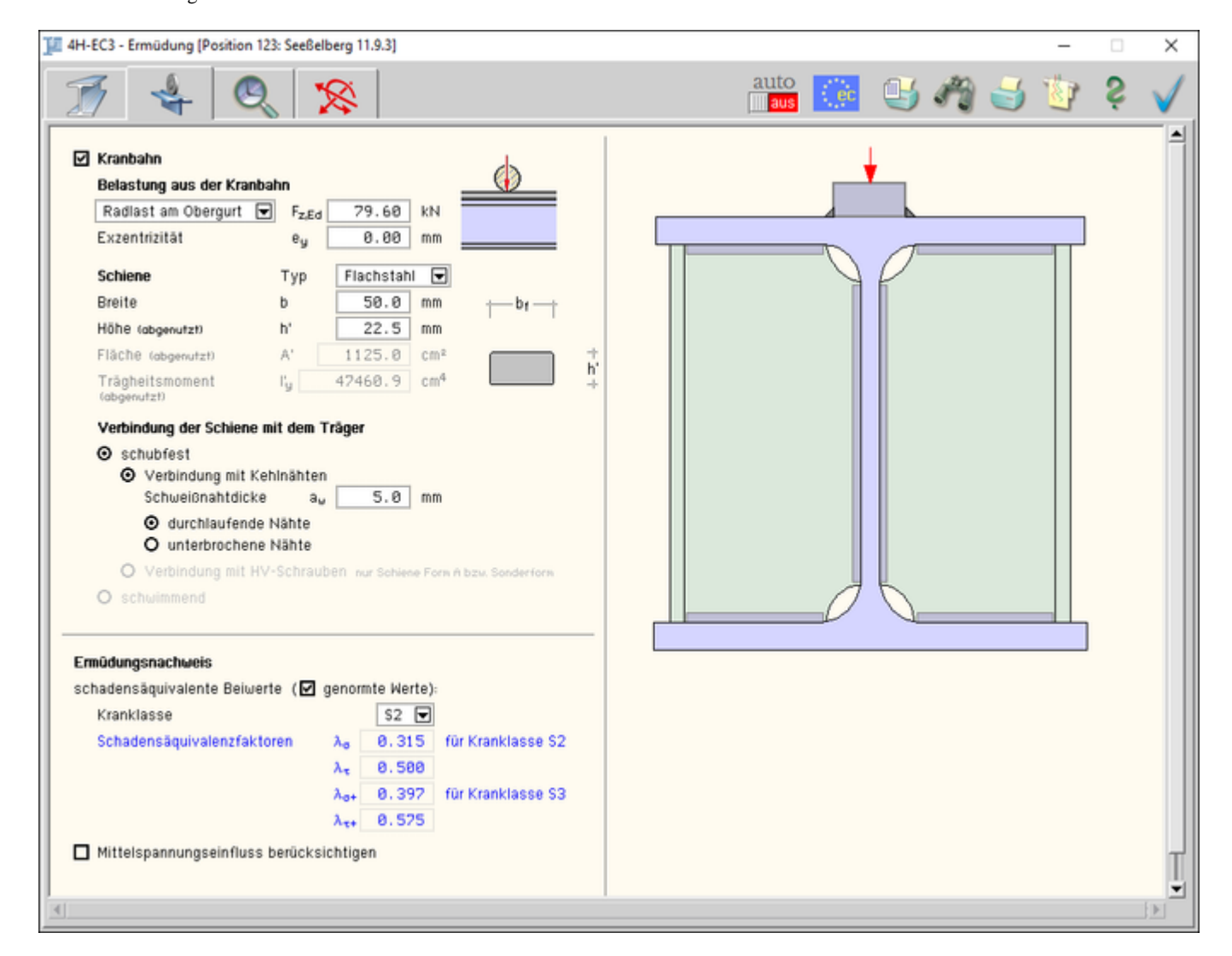
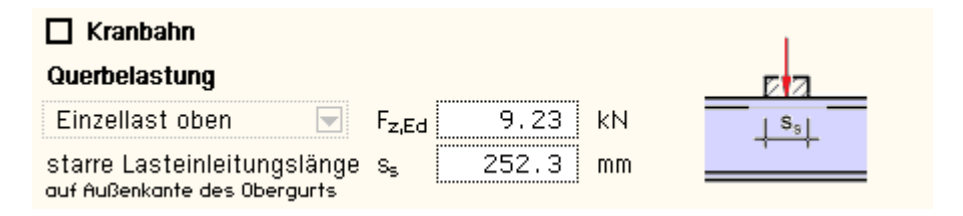


Bild vergrößern 🍳

Der Ermüdungsnachweis wird für einen Doppel-T-Träger ggf. mit Kranbahnbelastung am Ober- oder Untergurt geführt. Die Beschreibung der Rechenparameter der Kranbahn finden Sie hier.

Falls keine Angaben zur Kranbahn vorliegen, kann auch eine Einzellast auf den Obergurt mit zugehöriger Lasteinleitungslänge definiert werden.



Für den Ermüdungsnachweis sind schadensäquivalente Beiwerte der Normalspannungs- und der Schubspannungsdifferenz festzulegen.

Ist eine Kranbahn definiert, können die Werte über die Kranklasse normentsprechend gesetzt werden; andernfalls sind sie vorzugeben.

Da die Überfahrt einer Kranbahn stets zu zwei Spannungsspitzen führt, sind die Beiwerte für eine um 1 höhere Kranklasse ebenfalls anzugeben (nur bei Definition einer Kranbahn).



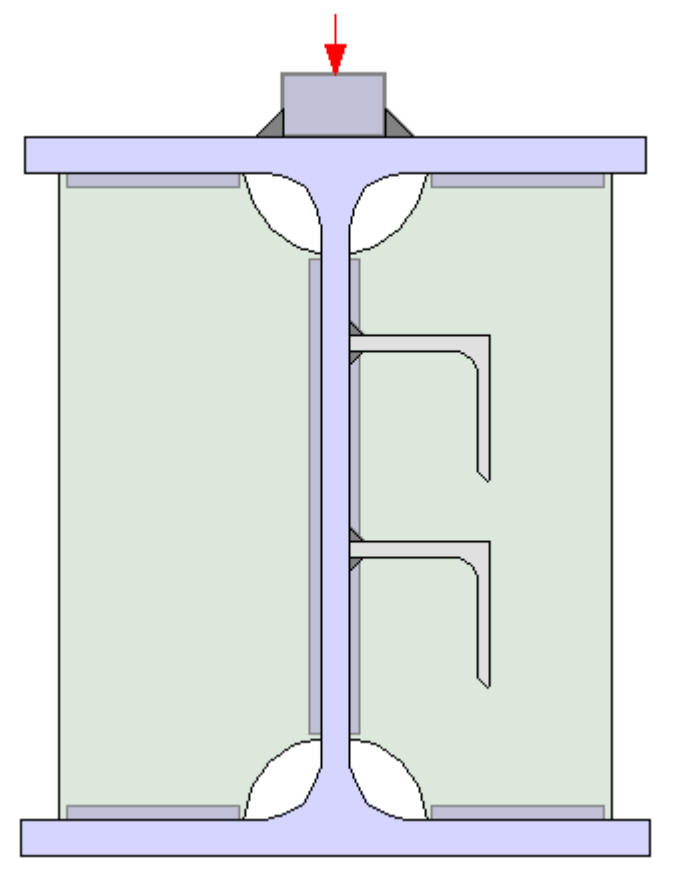
Außerdem kann optional der Mittelspannungseinfluss berücksichtigt werden. Hintergründe und Erläuterungen der Eingabewerte finden Sie hier.

Der Querschnitt wird einschl. Kranbahn und Belastung maßstäblich am Bildschirm angezeigt.

Änderungen in diesem Register werden direkt umgesetzt.

Ist der Button *auto* in der Kopfzeile des Programmfensters aktiviert, werden die Berechnungsergebnisse permanent abgeglichen und online am Bildschirm dargestellt (s.a. **Schnittgrößen**).

Maximale Ausnutzung $U_{max} = 0.322 \le 1$ ok.



Kerbfälle



Register 3 enthält Angaben zu den Kerbfällen

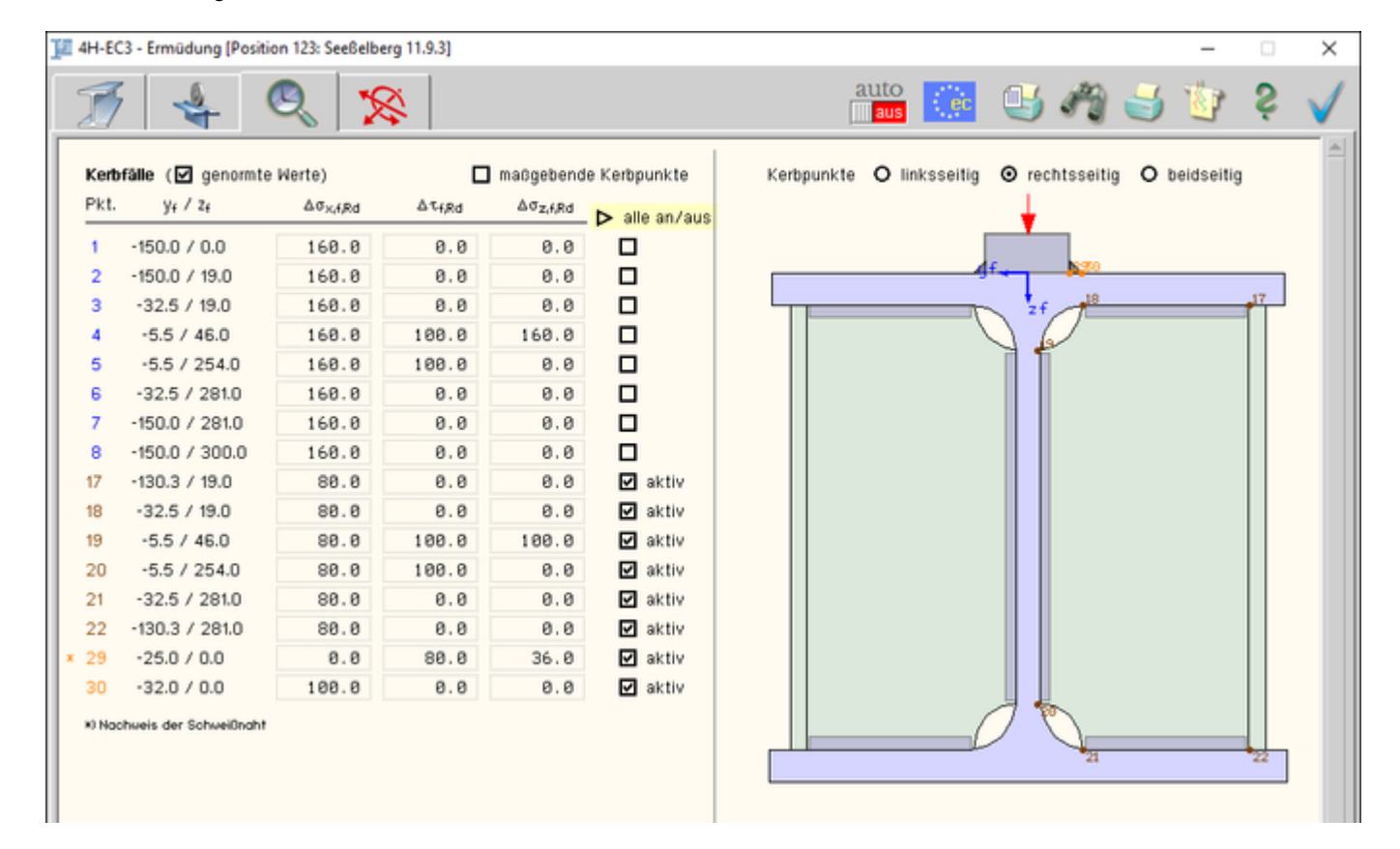


Bild vergrößern 🍳

Unter Ermüdungsbelastung ist ein Querschnitt an den Stellen besonders empfindlich gegen Versagen, an denen sein äußeres Gefüge infolge von Kerben gestört ist.

Eine Störung erfolgt an Schweißnähten (sowohl in der Wurzel als auch am Schenkelende), an Schraubenlöchern, bei Ausrundungen und an Querschnittskanten allgemein.

Die ermüdungsempfindlichen Stellen eines Querschnitts werden als Kerbfälle bezeichnet, an denen die Ermüdungsspannung vorgegebene Kerbspannungen nicht überscheiten darf.

In diesem Register werden alle verfügbaren Kerbfälle des Doppel-T-Trägerprofils tabellarisch aufgeführt und grafisch dargestellt. Der Übersichtlichkeit halber werden die Kerbpunkte nach ihrer Ursache farblich unterschieden.

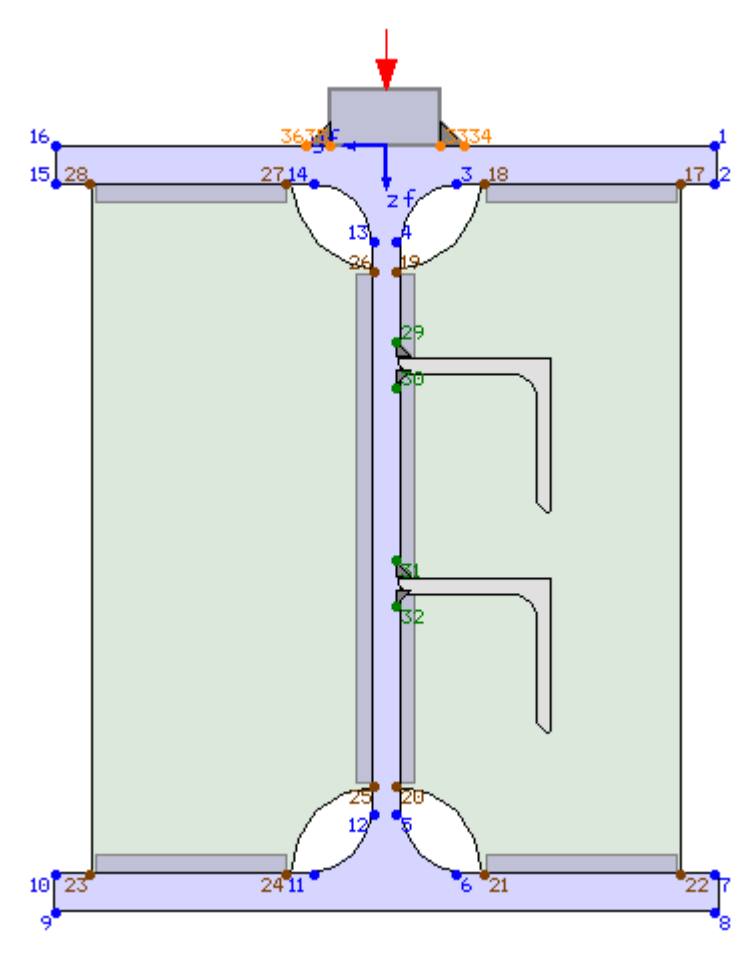
- blau: Profilkanten, -ausrundungen / -schweißnähte
- braun: Schweißnähte der Quersteifen am Trägerprofil
- grün: Schweißnähte der Längssteifen am Trägerprofil
- orange: Befestigung der Kranbahnschiene auf dem Trägerobergurt / Einleitung der Kranbahnlast in den Trägeruntergurt

Ein (*) kennzeichnet, wenn der Nachweis für die Schweißnaht geführt wird.

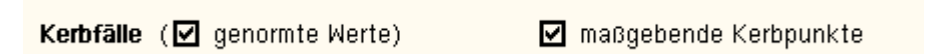
Kerb	fālle				
Pkt.	y _f / z _f	$\Delta\sigma_{x,f,Rd}$	Δτ _{f,Rd}	Δσ _{z,f,Rd}	
1	-150.0 / 0.0	160.0	0.0	0.0	☑ aktiv
4	-5.0 / 44.5	160.0	100.0	160.0	☑ aktiv
6	-32.0 / 332.5	160.0	0.0	0.0	☑ aktiv
17	-135.0 / 17.5	80.0	0.0	0.0	☑ aktiv
29	-5.0 / 89.4	56.0	100.0	0.0	☑ aktiv
33	-25.0 / 0.0	36.0	80.0	0.0	☑ aktiv

Neben der Punktnummer und der y-/z-Lage im Querschnitt werden die zulässigen Kerbnormalspannungen $\Delta\sigma_{x}$, $\Delta\sigma_{z}$ und die zulässige Kerbschubspannung $\Delta\tau$ angegeben.

Der Schalter *aktiv* kennzeichnet den Kerbpunkt als Nachweispunkt, d.h. ist der Schalter für einen Punkt nicht aktiviert, wird er nicht nachgewiesen.



Die Kerbspannungen können entweder nach Norm (EC 3-1-9, Tab. 8.xx) vorbelegt oder frei eingegeben werden. Ebenso können nur die für den Querschnitt maßgebenden Kerbpunkte vom Programm als *aktiv* gesetzt werden.



Um die Anzahl an Nachweispunkten zu reduzieren und aus Gründen der Übersichtlichkeit, können auch nur die rechtsseitigen oder linksseitigen Kerbpunkte angezeigt und aktiviert werden.





Bei unsymmetrischem Querschnitt oder mehrachsiger Belastung sollten die Kerbpunkte stets beidseitig des Querschnitts untersucht werden, da sonst der maßgebende Punkt ggf. nicht aktiviert ist.

Ist der Button *auto* in der Kopfzeile des Programmfensters angeschaltet, werden die Berechnungsergebnisse permanent abgeglichen und online am Bildschirm dargestellt (s.a. **Schnittgrößen**).

Maximale Ausnutzung U_{max} = 0.322 \leq 1 ok.

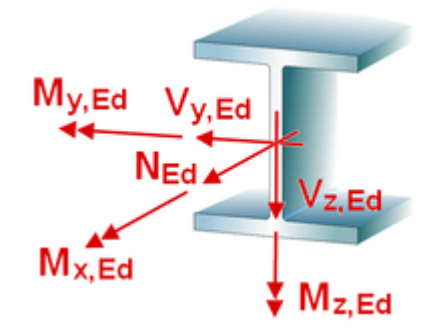
Schnittgrößen



das dritte Register beinhaltet die Maske zur Eingabe der Bemessungsschnittgrößen

Die Schnittgrößen werden als Bemessungsgrößen in der Vorzeichendefinition der Statik eingegeben, wobei das x,y,z-Koordinatensystem dem I,m,n-Stabsystem der pcae-Tragwerksprogramme entspricht.

Es können bis zu 10.000 Schnittgrößenkombinationen eingegeben werden. Beim Ermüdungsnachweis müssen mindestens 2 Kombinationen vorhanden sein. Bemessungssituation: Grenzzustand der Ermüdung.



	N _{Ed}	M _{y,Ed}	V _{z,Ed}	Mz,Ed	V _{y,Ed}	M _{x,Ed} kNm	Bezeichnung
i 🛅 🔁	-9.4	-145.6	135.7	2.7	2.3	-0.0	
: 🛅 🔁	-3.3	-30,2	31.6	3.5	4.4	-0.0	

Sind Längssteifen an den Querschnitt angeschweißt, verschiebt sich die Träger-Schwerachse.

Es besteht daher die Möglichkeit, die Schnittgrößen entweder bezogen auf den unversteiften (relevant z.B. bei Übernahme der Schnittgrößen aus einem *4H*-Programm) oder auf den versteiften Querschnitt einzugeben.

Schnittgrößen in der Schwerachse des 🗿 unversteiften O versteiften Querschnitts

Schnittgrößen importieren

Detailnachweisprogramme zur Bemessung von Anschlüssen, Fußpunkten und zum Nachweis von Sonderproblemen (Beulen, Ermüdung, Lasteinleitung) etc. benötigen Schnittgrößenkombinationen, die häufig von einem Tragwerksprogramm zur Verfügung gestellt werden.

Dabei handelt es sich i.d.R. um eine Vielzahl von Kombinationen, die im betrachteten Bemessungsschnitt des übergeordneten Tragwerkprogramms vorliegen und in das Anschlussprogramm übernommen werden sollen.

pcae stellt neben der 'per Hand'-Eingabe zwei verschiedene Mechanismen zur Verfügung, um Schnittgrößen in das vorliegende Programm zu integrieren.

Schnittgrößen aus ##- Programm importieren



Schnittgrößen aus Text-Datei einlesen



Import aus einem 4H-Programm

Voraussetzung zur Anwendung des DTE[®]-Import-Werkzeugs ist, dass sich ein pcae-Programm auf dem Rechner befindet, das Ergebnisdaten exportieren kann.

Eine ausführliche Beschreibung zum Schnittgrößenimport aus einem pcae-Programm befindet sich hier.

Import aus einer Text-Datei

Die Schnittgrößenkombinationen können aus einer Text-Datei im ASCII-Format eingelesen werden.

Die Datensätze müssen in der Text-Datei in einer bestimmten Form vorliegen; der entsprechende Hinweis wird bei Betätigen des *Einlese-*Buttons gegeben.

Anschließend wird der Dateiname einschl. Pfad der entsprechenden Datei abgefragt.

Es werden sämtliche vorhandenen Datensätze eingelesen und in die Tabelle übernommen. Bereits bestehende Tabellenzeilen bleiben erhalten.

Wenn keine Daten gelesen werden können, erfolgt eine entsprechende Meldung am Bildschirm.

Nachweisergebnis



Ist der Button auto in der Kopfzeile des Programmfensters angeschaltet, werden die Berechnungsergebnisse permanent abgeglichen und online am Bildschirm dargestellt.

Maximale Ausnutzung $U_{max} = 0.322 \le 1$ ok.



Je nach Nachweisoptionen und Anzahl an Lastkollektiven kann die Berechnung und damit der Bildaufbau sehr lange dauern. pcae empfiehlt, den Button auto zunächst auszuschalten.

Schnittgrößenimport Ermüdungsnachweis

Die statische Berechnung eines Bauteils beinhaltet i.A. die Modellbildung mit anschließender Berechnung des Tragsystems sowie nachfolgender Einzelnachweise von Detailpunkten.

Bei der Beschreibung eines Details sind die zugehörenden Schnittgrößen aus den Berechnungsergebnissen des Tragsystems zu extrahieren und dem Detailnachweis zuzuführen.

In der 4H-Programmorganisation gibt es hierzu verschiedene Vorgehensweisen

• zum einen können Tragwerks- und Detailprogramm fest miteinander verbunden sein, d.h. die Schnittgrößenübergabe erfolgt intern. Es sind i.A. keine weiteren Eingaben (z.B. Geometrie) notwendig, aber auch möglich (z.B. weitere Belastungen), die Programme bilden eine Einheit.

Dies ist z.B. bei dem 4H-Programm Stütze mit Fundament der Fall.

 zum anderen können Detailprogramme Schnittgrößen von in Tragwerksprogrammen speziell festgelegten Exportpunkten über ein zwischengeschaltetes Export/Import-Tool einlesen

Das folgende Beispiel eines einfachen Rahmens erläutert diesen 4H-Schnittgrößen-Export/Import.

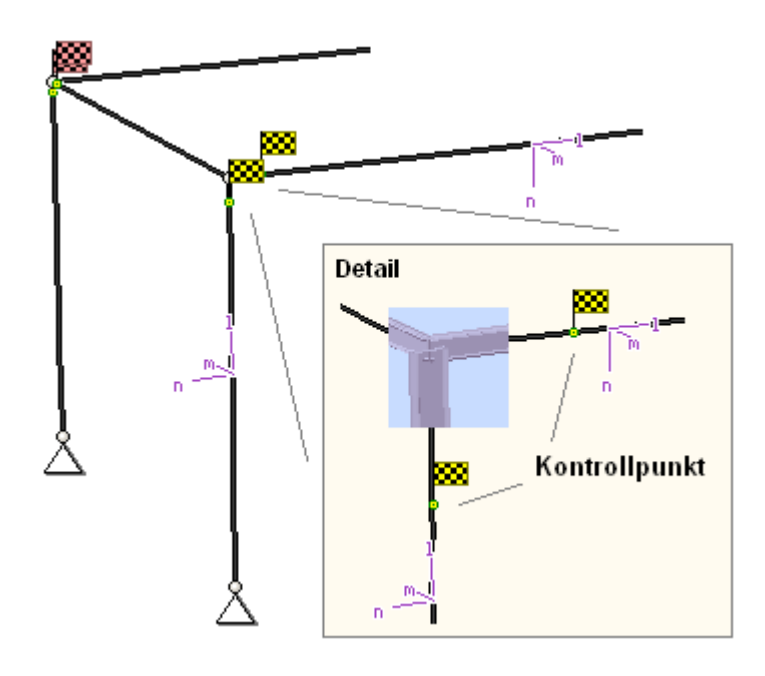
Zunächst sind im exportierenden 4H-Programm (z.B. 4H-FRAP) die Stellen zu kennzeichnen, deren Schnittgrößen beim nächsten Rechenlauf exportiert, d.h. für den Import bereitgestellt, werden sollen.

In diesem Beispiel sollen die Schnittgrößen für eine Querschnittsbemessung übergeben werden.

Dazu ist an der entsprechenden Stelle ein Kontrollpunkt zu setzen.

Ausführliche Informationen zum Export entnehmen Sie bitte dem DTE[®]-Schnittgrößenexport.

Nach einer Neuberechnung des Rahmens stehen die Exportschnittgrößen dem aufnehmenden 4H-Programm (z.B. 4H-BETON, 4H-EC3SA, 4H-EC3IH, 4H-EC3BT, 4H-EC3GT, 4H-EC3IS) zum Import zur Verfügung.

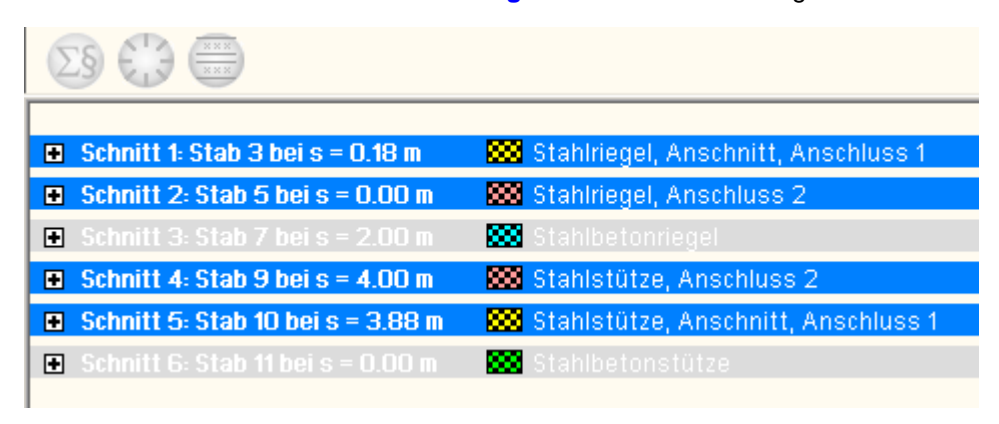




aus dem aufnehmenden 4H-Programm wird nun über den Import-Button das Fenster zur DTE®-Bauteilauswahl aufgerufen. Hier werden alle berechneten Bauteile dargestellt, wobei diejenigen, die Schnittgrößen exportiert haben, dunkel gekennzeichnet sind.

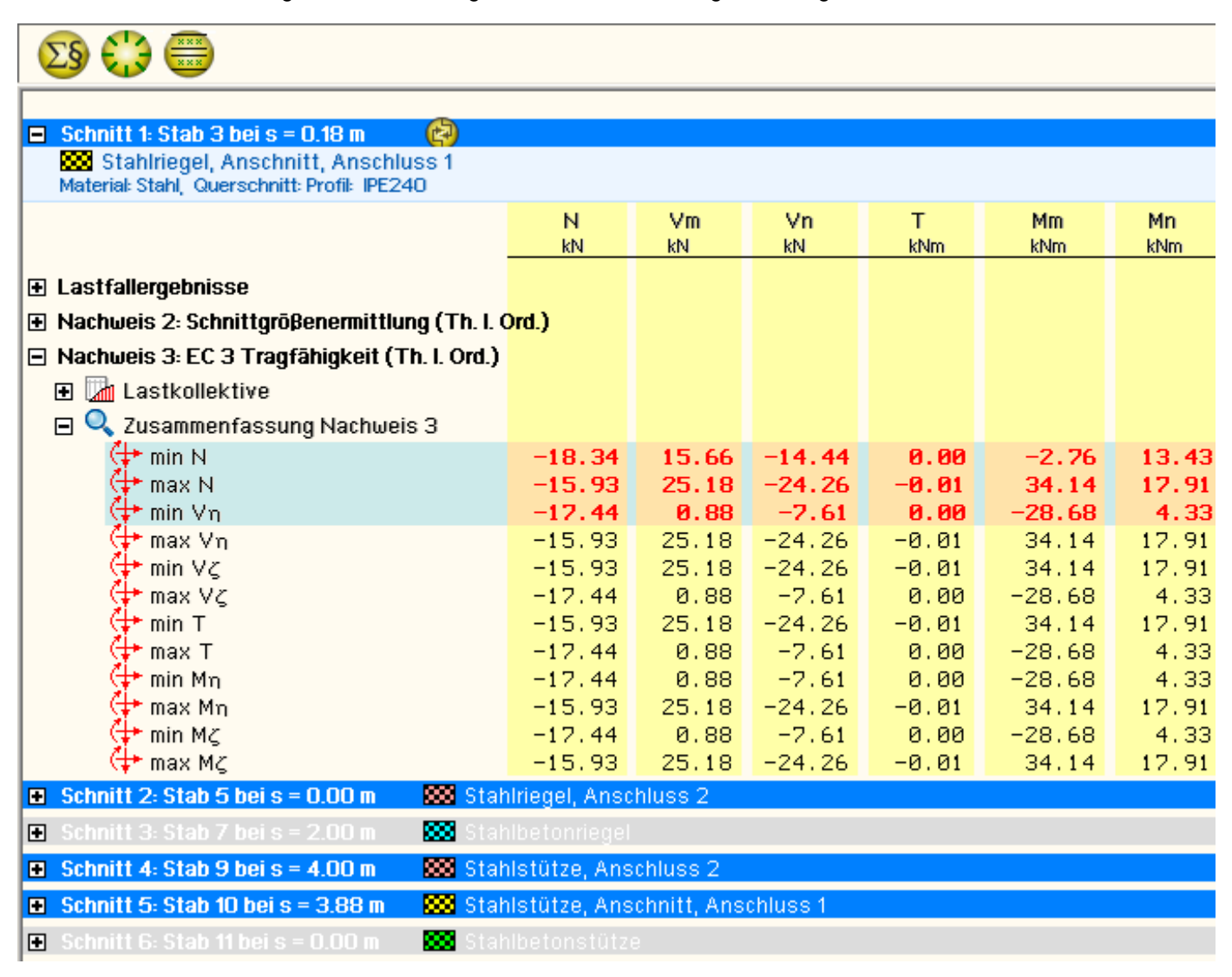
Das gewünschte Bauteil kann nun markiert und über den bestätigen-Button ausgewählt werden. Alternativ kann

durch Doppelklicken des Bauteils direkt in die DTE[®]-Schnittgrößenauswahl verzweigt werden.



In der Schnittgrößenauswahl werden die verfügbaren Schnittgrößenkombinationen aller im übergebenden Programm gekennzeichneten Schnitte angeboten. Dabei sind diejenigen Schnitte deaktiviert, deren Material nicht kompatibel mit dem Detailprogramm ist.

Es wird nun der Schnitt angeklickt und damit geöffnet, dessen Schnittgrößen eingelesen werden sollen.



In 4H-EC3SA ist der komplette verfügbare Schnittgrößensatz importierbar. Die Programme 4H-EC3BT, 4H-EC3RE, 4H-EC3IH und 4H-EC3IS importieren dagegen nur einen auf ebene Beanspruchung reduzierten Satz, was jeweils durch gelbe Hinterlegung der Spalten angezeigt wird. Im Programm 4H-EC3GT werden nur Normal- und Querkräfte erwartet. Im Programm 4H-EC3IS werden nur Querkräfte erwartet.

Die Schnittgrößenkombinationen können beliebig zusammengestellt werden; pcae empfiehlt jedoch, nur diejenigen auszuwählen, die als Bemessungsgrößen für den zu führenden Detailnachweis relevant sind.



ein nützliches Hilfsmittel bietet dabei der dargestellte Button, mit dem die Anzahl zu übertragender Lastkombinationen durch Eliminierung doppelter Zeilen stark reduziert werden kann.

®

Wird nun die DTE -Schnittgrößenauswahl bestätigt, bestückt das Importprogramm die Schnittgrößentabelle, wobei ggf. vorhandene Kombinationen erhalten bleiben.

						nur für o,O-Profile	
	N _{Ed}	$M_{y,Ed}$	$V_{z,Ed}$	$M_{z,Ed}$	$V_{y,Ed}$	$M_{x,Ed}$	Bezeichnung
	kN	kNm	kN	kNm	kNm	kNm	
	-18.34	-2.76	-14.44	13,43	15,66	-0.00	min N
<u> </u>	-15.93	34.14	-24.26	17.91	25.18	-0.01	max N
iii ===	-17.44	-28.68	-7.61	4.33	0.88	0.00	min Vn

Wenn eine Reihe von Anschlüssen gleichartig ausgeführt werden soll, können in einem Rutsch weitere Schnittgrößen anderer Schnitte aktiviert und so bis zu 10.000 Kombinationen übertragen werden.



Die Kompatibilität der Querschnitts- und Nachweisparameter zwischen exportierendem und importierendem Programm ist zu gewährleisten.

Eine Aktualisierung der importierten Schnittgrößenkombinationen, z.B. aufgrund einer Neuberechnung des exportierenden Tragwerks, erfolgt nicht!

Theorie Ermüdung EC 3-1-9

Allgemeines

Die Materialermüdung ist eine der grundlegenden Schadensursachen im Stahlbau.

Bei Tragwerken unter wiederkehrenden veränderlichen Einwirkungen können Schäden durch Rissbildung und Risswachstum entstehen, die im Laufe der Zeit zum Verlust des Bauteilwiderstands führen.

Ermüdungsrisse entstehen meist im Bereich von Spannungsspitzen an geometrischen Diskontinuitäten (Verarbeitungs-, Schweiß- oder Verbindungsdetails).

Eine wiederholte veränderliche Belastung, die weit unterhalb der statischen Traglast liegen kann, führt zu Spannungswechseln, die zum vorzeitigen Versagen führen können.

Die Anzahl der Spannungswechsel definiert die Lebensdauer eines Bauteils, die wiederum maßgeblich abhängig ist von

- · der Spannungsschwingbreite, definiert als die Differenz der größten zur kleinsten Spannung an einer Stelle
- der Kerbwirkung, da Kerben (Diskontinuitäten) zu einer Störung des Kraftflusses innerhalb eines Bauteils und damit zu Spannungsspitzen führen
- den Werkstoffeigenschaften, da sich bei nicht geschweißten Bauteilen gezeigt hat, dass eine erhöhte Zugfestigkeit i.d.R. einen günstigen Einfluss auf die Lebensdauer hat

Bei der Bestimmung der Ermüdungsfestigkeit wird anstelle der vorhandenen Spannungsschwingbreite, die auf Grund der regellosen Beanspruchung nur schwer abzuschätzen ist, auf Grundlage der Theorie der Schadensakkumulation eine äquivalente Spannungsschwingbreite berechnet, die bei einer bestimmten Anzahl von Spannungsschwingspielen und bei gegebener Ermüdungsfestigkeitskurve den gleichen Gesamtschaden D ergibt.

$$\Delta \sigma_E = \left(\frac{\left(1/D\right) \cdot \sum\limits_{i=1}^k \Delta \sigma_i^m \cdot n_i^{1/m}}{N_{tot}} \right)$$

Δσ_E äquivalente Spannungsschwingbreite

D Gesamtwert der Schädigung Δσ; Spannungsschwingbreite i

n; Anzahl des Auftretens der Spannungsschwingbreiten i

N_{tot} Gesamtzahl der Spannungsschwingspiele m Steigung der Ermüdungsfestigkeitskurve k Anzahl der Spannungsschwingbreiten

Diese Spannungsschwingbreite wird nach dem Konzept des Schadensäquivalenzfaktors in eine ingenieurmäßig praktikablere Form gebracht, indem für einen festgelegten Bezugswert $N_{tot} = 2 \cdot 10^6$ sich infolge einer normierten Ermüdungslast mittels des Schadensäquivalenzfaktors λ ergibt

$$\Delta \sigma_{E,2} = \lambda \cdot \Delta \sigma (\gamma_{Ff} \cdot Q_k)$$

Δσ_{E,2} äquivalente Spannungsschwingbreite bei 2·10⁶ Schwingspielen

λ Schadensäquivalenzfaktor

 $\Delta\sigma(\gamma_{\text{Ff}}\cdot Q_k) \quad \text{Spannungsschwingbreite aus dem Ermüdungslastmodell} \\ \quad \text{infolge der normierten Ermüdungslast } \gamma_{\text{Ff}}\cdot Q_k$

Ermüdungslastmodell und Schadensäquivalenzfaktor sind in den zuständigen Normen geregelt. Im Folgenden wird sich auf EC 3-1-9, Ermüdung, und EC 3-6, Kranbahnen, bezogen (s. Literatur).

Die Ermittlung der Ermüdungslasten erfolgt über Ermüdungslastmodelle, die sich normalerweise von den Grenzzuständen der Tragfähigkeit (GZT) und den Grenzzuständen der Gebrauchstauglichkeit (GZG) unterscheiden.

Dementsprechend resultieren die verwendeten Schnittgrößenkombinationen aus dem Grenzzustand der Ermüdung (GZE), der entweder im EC 1, Einwirkungen, oder in speziellen Vorschriften (z.B. für Stahlbrücken EC 3-2, für Türme und Maste EC 3-3-1, für Schornsteine EC 3-3-2, für Silos EC 3-4-1, für Tankbauwerke EC 3-4-2, für Kranbahnen EC 3-6) bestimmt ist.

Für Kranbahnen ist kein separates Lastmodell definiert, es wird das statische Lastmodell mit den Ermüdungslasten nach EC 1-3, 2.12, verwendet.

Die ermüdungsrelevante Belastung setzt sich aus den vertikalen Eigengewichts- und Hublasten sowie den horizontalen Fahr- und Spurführungslasten zusammen.

Die schadensäquivalente Ermüdungslast aus der Kranbahn wird berechnet zu

$$Q_e = \varphi_{fat} \cdot \lambda \cdot Q_{max,i}$$

Qe Ermüdungslast

φ_{fat} schadensäquivalenter dynamischer Faktor

Q_{max.i.} Maximalwert der charakteristischen vertikalen Radlast

Der schadensäquivalente dynamische Faktor kann angenommen werden zu

$$\phi_{\text{fat,1}} = \frac{1 + \phi_1}{2} \dots \text{ und } \dots \phi_{\text{fat,2}} = \frac{1 + \phi_2}{2} \dots \text{ mit } \dots$$
 $\phi_1, \phi_2 \quad \text{aus EC 1-3, Tab. 2.4}$

In Abhängigkeit der Gesamtzahl von Arbeitsspielen und der Lastkollektivklasse können die Ermüdungseinwirkungen von Kranen mit Hilfe von EC 1-3, Tab. 2.11, in Klassen S0 bis S9 eingeteilt werden.

Für diese Kranklassen lassen sich die schadensäquivalenten Beiwerte λ aus EC 1-3, Tab. 2.12, ablesen.

Klassen	So	S ₁	S ₂	S ₃	S ₄	S ₅	S ₆	S ₇	S ₈	S ₉
Normalspg.	0.198	0.250	0.315	0.397	0.500	0.630	0.794	1.00	1.260	1.587
Schubspg.	0.379	0.436	0.500	0.575	0.660	0.758	0.871	1.00	1.149	1.320

Werden mehrere Krane eingesetzt, ist nach EC 3-6, 9.4.2, die Summe der Schädigungsanteile der unabhängig wirkenden Einzelkrane mit der Summe der zeitweise gemeinsam wirkenden Krane zu addieren.

$$\sum_{i} D_{i} + D_{dup} \le 1$$

D_i Schädigung infolge eines einzelnen unabhängig wirkenden Krans i

D_{dup} zusätzliche Schädigung infolge der Kombination von zwei oder mehr Kranen, die zeitweise zusammenwirken

Bemessungskonzept

Der Ermüdungsnachweis ist entweder nach dem Konzept der Schadenstoleranz oder dem Konzept der ausreichenden Sicherheit gegen Ermüdungsversagen ohne Vorankündigung durchzuführen.

Die geforderte Zuverlässigkeit kann durch Festlegung des Materialsicherheitsbeiwerts erreicht werden (s. EC 3-1-9, Tab. 3.1).

	Schaden	sfolgen
Bemessungskonzept	niedrig	hoch
Schadenstoleranz	1.00	1.15
Sicherheit gg. Ermüdungsver- sagen ohne Vorankündigung	1.15	1.35

Beanspruchungen

Für den Ermüdungsnachweis können die Spannungen als Nennspannungen bzw. korrigierte Nennspannungen oder als Strukturspannungen ermittelt werden.

Die Bestimmung der Nennspannungen beruht auf dem elastischen Verhalten von Bauteilen. Sie werden auf Gebrauchsniveau an der Stelle der potentiellen Rissentstehung berechnet.

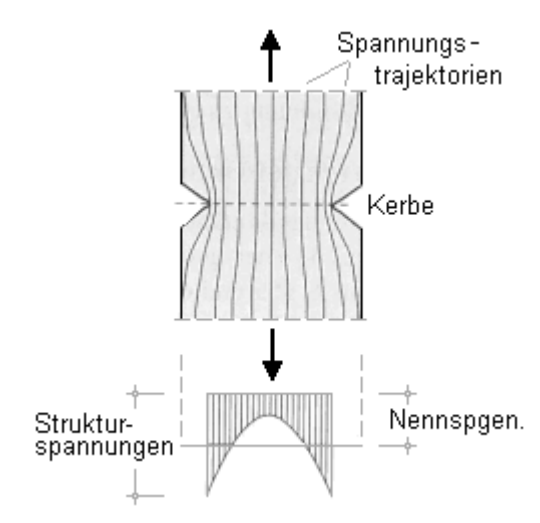
Die Spannungsschwingbreite der Nennspannungen wird bestimmt mit

$$\gamma_{\text{Ff}} \cdot \Delta \sigma_{\text{E},2} = \lambda \cdot \Delta \sigma (\gamma_{\text{Ff}} \cdot Q_k)$$

Um außerplanmäßige Spannungserhöhungen zu erfassen, wie sie z.B. bei abrupten Querschnittsänderungen in Nähe der Rissentstehung auftreten, werden korrigierte Nennspannungen verwendet.

$$\gamma_{\text{Ff}} \cdot \Delta \sigma_{\text{E},2} = k_{\text{f}} \cdot \lambda \cdot \Delta \sigma (\gamma_{\text{Ff}} \cdot Q_{\text{k}})$$

kf Spannungskonzentrationsfaktor zur Berücksichtigung der lokalen Spannungserhöhung in Bezug auf die Kerbfallsituation der Bezugs-Wöhlerlinie



Strukturspannungen sind realitätsnahe Kerbspannungen, die z.B. bei voll durchgeschweißten Stumpfnähten oder an Nahtübergängen von unbelasteten Kehlnähten zum Tragen kommen.

$$\gamma_{\text{Ff}} \cdot \Delta \sigma_{\text{E},2} = k_f (\gamma_{\text{Ff}} \cdot \Delta \sigma_{\text{E},2})$$

Spannungskonzentrationsfaktoren (Kerbfaktoren) können der Literatur entnommen werden.

Ermüdungsnachweis

Das Nennspannungskonzept wird verwendet.

Die Spannungsschwingbreiten werden im GZE, d.h. nach EC 3-1-9, 8(1), infolge der häufig auftretenden Lasten, ermittelt.

Die Spannungen werden je nach Kerbrichtung unterschieden in globale Längs- und Schubspannungen σ_x und τ_{xz} aus globaler Tragwirkung und lokale Längs- und Schubspannungen σ_{oz} und τ_o am Obergurt bzw. σ_{uz} und τ_u am Untergurt z.B. aus der Kranbahn.

Die Spannungsdifferenzen werden für die globale Tragwirkung gebildet mit

$$\begin{split} \Delta\sigma_{x,global} &= \sigma_{x,max} - \sigma_{x,min} \ \dots \ und \ \dots \ \Delta\tau_{global} = \tau_{xz,max} - \tau_{xz,min} \\ &\sigma_{x,max}, \tau_{xz,max} \quad \text{Oberspannung aus Biegung mit/ohne Normalkraft, Querkraft mit/ohne Torsion} \\ &\sigma_{x,min} \ , \tau_{xz,min} \quad \text{Unterspannung } \dots \end{split}$$

und für die lokale Tragwirkung (s. Kranbahn) mit

Bei nicht geschweißten oder geschweißten, spannungsarm geglühten Konstruktionen darf der Mittelspannungseinfluss bei Normalspannungen aus globaler Tragwirkung berücksichtigt werden, indem der Druckanteil der Spannungsschwingbreite auf 60 % reduziert wird.

$$\begin{array}{lll} \Delta\sigma &= \sigma_{max} - \sigma_{min} & \text{ wenn } \sigma_{min} \geq 0 \\ \Delta\sigma &= 0.6 \cdot \left(\sigma_{max} - \sigma_{min}\right) & \text{ wenn } \sigma_{max} \leq 0 \\ \Delta\sigma &= \sigma_{max} - 0.6 \cdot \sigma_{min} & \text{ sonst} \end{array}$$



Werden die Spannungsschwingbreiten nur aus veränderlichen Lasten ermittelt, darf der Mittelspannungseinfluss nicht berücksichtigt werden.

Die Spannungen sind zu begrenzen auf

$$\begin{array}{ll} \Delta\sigma \leq 1.5 \cdot f_{\gamma} & \text{für Längsspannungen} \\ \Delta\tau \leq 1.5 \cdot f_{\gamma} \, / \sqrt{3} & \text{für Schubspannungen} \end{array}$$

Die Ermüdungsnachweise sind zu führen mit

$$\frac{\gamma_{Ff} \cdot \Delta \sigma_{E,2}}{\Delta \sigma_{C} / \gamma_{Mf}} \leq 1.0 \ ... \ und \ ... \ \frac{\gamma_{Ff} \cdot \Delta \tau_{E,2}}{\Delta \tau_{C} / \gamma_{Mf}} \leq 1.0$$

 $\begin{array}{lll} \Delta\sigma_{C}, \Delta\tau_{C} & \text{Ermüdungsfestigkeit bei } 2\cdot 10^{6} \text{ Schwingspielen für Normal- bzw. Schubspannungen} \\ \gamma_{\text{Ff}} & \text{Last-Sicherheitsbeiwert für Nachweise im GZE, i.A. } \gamma_{\text{Ff}} = 1.0 \\ \gamma_{\text{Mf}} & \text{Material-Sicherheitsbeiwert für Nachweise im GZE} \end{array}$

Bei gleichzeitiger Wirkung von $\Delta\sigma_{E,2}$ und $\Delta\tau_{E,2}$ gilt die Interaktionsbeziehung

$$\left(\frac{\gamma_{Ff}\cdot\Delta\sigma_{E,2}}{\Delta\sigma_{C}/\gamma_{Mf}}\right)^{3} + \left(\frac{\gamma_{Ff}\cdot\Delta\tau_{E,2}}{\Delta\tau_{C}/\gamma_{Mf}}\right)^{5} \le 1.0$$

Jedoch darf der Einfluss der Schubspannungen vernachlässigt werden, wenn gilt

Bei einem n_R -achsigen Kran wird der Steg während einer Kranüberfahrt infolge n_R Radlasten lokal durch n_R Spannungszyklen beansprucht. Deren gemeinsame Wirkung ist durch die Summe der Einzelschädigungen zu berücksichtigen.

$$\begin{split} & n_R \cdot \left(\frac{\gamma_{\text{Ff}} \cdot \Delta \sigma_{z,\text{lokal},\text{E},2}}{\Delta \sigma_{z,\text{C}} / \gamma_{\text{Mf}}} \right)^3 \leq 1.0 \quad ... \text{ bzw.} \dots \quad & n_R \cdot \left(\frac{\gamma_{\text{Ff}} \cdot \Delta \tau_{\text{lokal},\text{E},2}}{\Delta \tau_{\text{C}} / \gamma_{\text{Mf}}} \right)^5 \leq 1.0 \\ & n_R \quad \text{Anzahl der Kranachsen} \end{split}$$

Es kann gezeigt werden, dass eine Vervielfachung der Spannungsspiele durch eine Erhöhung der Beanspruchungsgruppe um $n_R/2$ kompensiert werden kann.

Bei einem zweiachsigen Kran wird daher beispielsweise die Beanspruchungsgruppe Si erhöht auf Si+1.

Außerdem ist die Kerbwirkung zu beachten, d.h. in welcher Richtung der zu erwartende Riss verläuft.

Z.B. erzeugen die lokalen Spannungen aus einer Kranbahn senkrecht verlaufende Risse, während aus den globalen Spannungen am Träger waagerechte Risse resultieren.

Daher sind an einigen Kerbpunkten Spannungsdifferenzen beider Normalspannungen zu berücksichtigen.

Unter dieser Voraussetzung kann pcae der Interaktionsbeziehung von Seeßelberg (s. Literatur) folgen mit

$$\left(\frac{\gamma_{\text{Ff}}\cdot\Delta\sigma_{\text{X,E,2}}}{\Delta\sigma_{\text{C}}/\gamma_{\text{Mf}}}\right)^{3} + \left(\frac{\gamma_{\text{Ff}}\cdot\Delta\sigma_{\text{Z,E,2}}}{\Delta\sigma_{\text{C}}/\gamma_{\text{Mf}}}\right)^{3} + \left(\frac{\gamma_{\text{Ff}}\cdot\Delta\tau_{\text{E,2}}}{\Delta\tau_{\text{C}}/\gamma_{\text{Mf}}}\right)^{5} \leq 1.0$$

Alternativ schlagen Nussbaumer/Günther ohne Erhöhung der Beanspruchungsgruppe (s. Literatur) vor

$$\left(\frac{\gamma_{Ef}\cdot\Delta\sigma_{x,E,2}}{\Delta\sigma_{x,C}/\gamma_{Mf}}\right)^{3} + \left(\frac{\gamma_{Ef}\cdot\Delta\tau_{E,2}}{\Delta\tau_{C}/\gamma_{Mf}}\right)^{5} + n_{R}\cdot\left(\frac{\gamma_{Ef}\cdot\Delta\sigma_{z,lokal,E,2}}{\Delta\sigma_{z,C}/\gamma_{Mf}}\right)^{3} + n_{R}\cdot\left(\frac{\gamma_{Ef}\cdot\Delta\tau_{lokal,E,2}}{\Delta\tau_{C}/\gamma_{Mf}}\right)^{5} \le 1.0$$

Kerbfalltabellen

In den Tabellen 8.1 bis 8.10 des EC 3-1-9 werden die Ermüdungsfestigkeiten für wesentliche typisierte Kerbfälle angegeben. Die Bezeichnung der Kerbfälle richtet sich nach deren maximaler Ermüdungsfestigkeit.

Im Programm 4H-EC3EM werden folgende Kerbfälle verwendet

Tab. 8.2 100

Tab. 8.4 80, 71, 56, 80 und 71

Tab. 8.5 80, 71, 63, 56, 50, 45, 40, 56*, 50, 45, 40, 36 und 80

Tab. 8.10 160, 71 und 36*

Beispiel

Für einen längsversteiften Kranbahnträger (HEA360, eine

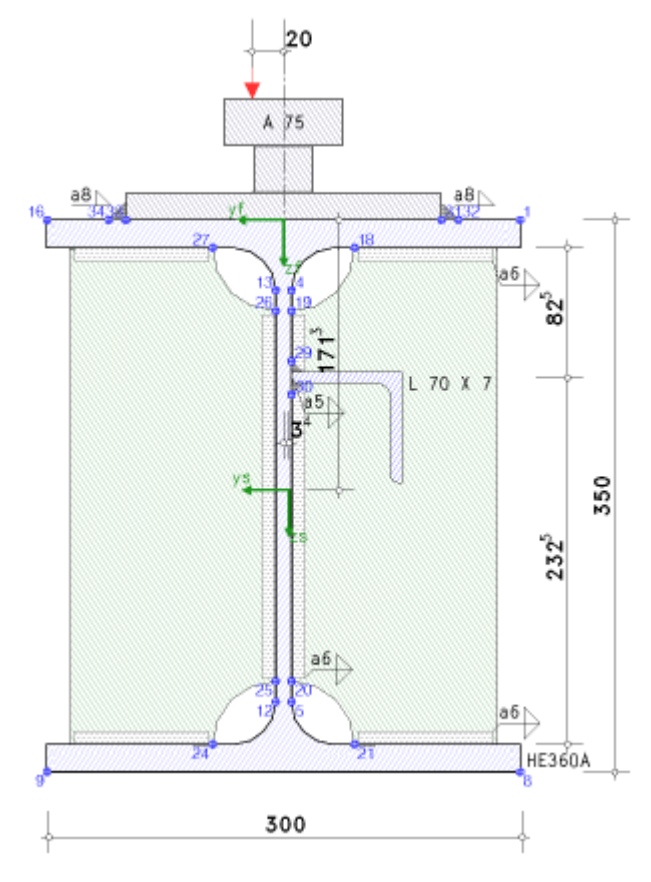
Steife L 70x7, Stahlgüte S 235) wird im Bereich des Mittelauflagers (Quersteife 130x7, Abstand a = 3.0 m) der Ermüdungsnachweis an den maßgebenden Kerbpunkten geführt.

Die Kranbahn (Kranklasse S3) läuft auf einer Schiene A 75, die schubfest an den Träger angeschweißt ist.

Die Last wird exzentrisch eingeleitet.

Die relevanten Kerbpunkte des Trägerprofils sind seine äußeren Ecken (Pkte. 1, 8, 9, 16) und die Ausrundungen am Steg (Pkte. 4, 5, 12, 13).

Weitere Kerbpunkte ergeben sich infolge der Schweißnähte der Quersteife (Pkte. 18, 21, 24, 27 an den Flanschen, Pkte. 19, 20, 25, 26 am Steg), der Längssteife (Pkte. 29, 30) sowie durch die Befestigung der Kranbahnschiene am Trägerflansch (Pkte. 31, 32, 33, 34).



Bei normenkonformer Berechnung sind für die zulässigen Kerbspannungen $\Delta\sigma_{Rd}$, $\Delta\tau_{Rd}$ die zuständigen Abschnitte des EC 3-1-9 angegeben.

Pkt	y f mm	Zf MM	∆ox,Rd N/mm²	∆τRd N/mm²	∆ oz,Rd N/mm²	Kerbpunkt	EC 3-1-9, Tab.
1	-150.0	0.0	160.0	0.0	0.0	am Obergurt	8.1(2)
4	-5.0	44.5	160.0	100.0	160.0	am Trägersteg	8.1(2) 8.1(6) 8.10(1)
5	-5.0	305.5	160.0	100.0	0.0	am Trägersteg	8.1(2) 8.1(6)
8	-150.0	350.0	160.0	0.0	0.0	am Untergurt	8.1(2)
9	150.0	350.0	160.0	0.0	0.0	am Untergurt	8.1(2)
12	5.0	305.5	160.0	100.0	0.0	am Trägersteg	8.1(2) 8.1(6)
13	5.0	44.5	160.0	100.0	160.0	am Trägersteg	8.1(2) 8.1(6) 8.10(1)
16	150.0	0.0	160.0	0.0	0.0	am Obergurt	8.1(2)
18	-45.0	17.5	80.0	0.0	0.0	infolge Quersteife	8.4(7)
19	-5.0	57.5	80.0	100.0	100.0	infolge Quersteife	8.4(7) 8.1(6) 8.2(7)
20	-5.0	292.5	80.0	100.0	0.0	infolge Quersteife	8.4(7) 8.1(6)
21	-45.0	332.5	80.0	0.0	0.0	infolge Quersteife	8.4(7)
24	45.0	332.5	80.0	0.0	0.0	infolge Quersteife	8.4(7)
25	5.0	292.5	80.0	100.0	0.0	infolge Quersteife	8.4(7) 8.1(6)
26	5.0	57.5	80.0	100.0	100.0	infolge Quersteife	8.4(7) 8.1(6) 8.2(7)
27	45.0	17.5	80.0	0.0	0.0	infolge Quersteife	8.4(7)
29	-5.0	89.4	56.0	100.0	0.0	infolge Längssteife	8.4(1) 8.1(6)
30	-5.0	110.6	56.0	100.0	0.0	infolge Längssteife	8.4(1) 8.1(6)
* 31	-100.0	0.0	36.0	80.0	0.0	infolge Kranbahn	8.5(3) 8.5(8)
32	-107.0	0.0	100.0	0.0	0.0	infolge Kranbahn	8.2(7)
* 33	100.0	0.0	36.0	80.0	0.0	infolge Kranbahn	8.5(3) 8.5(8)
34	107.0	0.0	100.0	0.0	0.0	infolge Kranbahn	8.2(7)

^{*)} Nachweis der Schweißnaht

Für die mit * gekennzeichneten Kerbpunkte sind die Spannungen bezogen auf die Schweißnähte (z.B. wegen eines Wurzelrisses) zu ermitteln; alle anderen Kerbpunktspannungen beziehen sich auf das Trägerprofil.

Die Schadensäquivalenzfaktoren werden für die Kranklassen S3 (vorgegeben) und S4 (Erhöhung wegen zweier Überfahrten) angegeben mit

Kranklasse S3:
$$\lambda_{\sigma} = 0.397$$
, $\lambda_{\tau} = 0.575$
S4: $\lambda_{\sigma+} = 0.500$, $\lambda_{\tau+} = 0.660$

Das Sicherheitsniveau liegt für das Bemessungskonzept der Schadenstoleranz bei hoher Schadensfolge bei $\gamma_{Mf} = 1.15$.

Zunächst werden die Querschnittswerte für die lineare Spannungsberechnung bereitgestellt.

```
Querschnittswerte
```

```
A = 152.20 \text{ cm}^2, z_8 = 171.3 \text{ mm}, l_y = 33439.16 \text{ cm}^4, y_8 = 3.4 \text{ mm}, l_z = 8198.64 \text{ cm}^4
```

Die wirksame Lasteinleitungslänge und die lokalen Spannungen aus der Kranbahn werden berechnet (Kranbahn).

```
wirksame Lasteinleitungslänge aus der Kranbahn effektive Breite beff = b_r+b_r+t_0=294.5 \text{ mm} \le b_{10}
Trägheitsmoment Schiene mit Trägerflansch I_{rf}=1059.39 \text{ cm}^4 effektive Länge I_{eff}=3.25 \cdot (I_{rf}/t_w)^{1/3}=331.3 \text{ mm}

lokale Spannungen aus der Kranbahn wirksame Lasteinleitungslänge bezogen ...
... auf die Flanschaußenkante s_s=I_{eff}-2\cdot t_f=296.3 \text{ mm} / ... auf den Steg s_w=I_{eff}+2\cdot r=385.3 \text{ mm} lokale Spannungen ...
... an der Schiene \sigma_{0z}=-27.0 \text{ N/mm}^2, \tau_0=5.4 \text{ N/mm}^2
... am Trägersteg \sigma_{0z}=-20.8 \text{ N/mm}^2, \tau_0=4.2 \text{ N/mm}^2
Stegbiegespannung

MT Ed = F_z Ed:e_v=1.60 \text{ kNm} \Rightarrow \sigma_T=(6\cdot \text{MT Ed})/(a:t_w^2)\cdot n\cdot tanh(n)=36.7 \text{ N/mm}^2
```

```
M\tau_{,Ed} = F_{z,Ed} \cdot e_y = 1.60 \text{ kNm} \implies \sigma\tau = (6 \cdot M\tau_{,Ed})/(a \cdot t_w^2) \cdot \eta \cdot tanh(\eta) = 36.7 \text{ N/mm}^2

mit \ \eta = ((0.75 \cdot a \cdot t_w^3)/l_t \cdot sinh^2(\pi \cdot h_w/a)/(sinh^2(2 \cdot \pi \cdot h_w/a) - 2 \cdot \pi \cdot h_w/a))^{0.5} = 1.323, \ l_t = 296.59 \text{ cm}^4
```

Zur Ermittlung der globalen Spannungen sind ggf. die Biegemomente auf den versteiften Querschnitt zu beziehen.

An jedem aktiven Kerbpunkt werden die Normal- und Schubspannungen σ_X und τ_{XZ} aller Lastkollektive (s. **Schnittgrößen**) berechnet.

Mit den lokalen Spannungen σ_{oz} , τ_{o} und σ_{T} (s.o.) ergeben sich die Spannungsschwingbreiten $\Delta\sigma_{x,Ed}$, $\Delta\tau_{Ed}$, $\Delta\sigma_{z,Ed}$.

Im Folgenden wird der Berechnungsablauf exemplarisch für zwei Lastkollektive im Kerbpunkt 26 (Quersteife am Steg oben) gezeigt.

Da sich die eingegebenen Schnittgrößen im GZE auf den unversteiften Querschnitt beziehen, sind die Biegemomente zu transformieren.

```
Biegemomente bezogen auf den versteiften Querschnitt
```

Die Spannungsschwingbreiten ergeben sich damit zu

```
elastische Spannungen / Spannungsschwingbreiten
```

mit

```
\Delta \sigma_{x,Ed} = 49.1 - 10.0 \approx 39.0 \text{ N/mm}^2

\Delta \tau_{Ed} = (39.1 - 9.0) + 2 \cdot 4.2 \approx 38.4 \text{ N/mm}^2

\Delta \sigma_{z,Ed} = -(-20.8) + 36.7 = 57.5 \text{ N/mm}^2
```

Mit den entsprechenden Schadensäquivalenzfaktoren für Normal- und Schubspannung ergeben sich die Spannungsschwingbreiten infolge Ermüdung zu

Spannungsschwingbreiten infolge Ermüdung

```
\Delta \sigma_{x,f} = \Delta \sigma_{x,Ed} \lambda_{\sigma_{t}}, \Delta \tau_{f} = \Delta \tau_{Ed} \lambda_{\tau_{t}}, \Delta \sigma_{z,f} = \Delta \sigma_{z,Ed} \lambda_{\sigma}

Pkt. 26: y_{f} = 5.0 mm, z_{f} = 57.5 mm (\lambda_{\sigma\tau +}) \Delta \sigma_{x,f} = 15.5 N/mm<sup>2</sup> \Delta \tau_{f} = 25.3 N/mm<sup>2</sup> \Delta \sigma_{z,f} = 28.7 N/mm<sup>2</sup>
```

wobei an diesem Kerbpunkt die Schadensäquivalenzfaktoren für die höhere Kranklasse ($\lambda_{T\sigma Z+}$) zu verwenden sind. Mit den zulässigen Kerbspannungen kann der Ermüdungsnachweis geführt werden.

zul. Kerbspannungen

 $\Delta \sigma_{X}$, Rd, $I = \Delta \sigma_{X}$, Rd/yMI, $\Delta \tau_{Rd}$, $I = \Delta \tau_{Rd}$, $\Delta \sigma_{Z}$, Rd, $I = \Delta \sigma_{Z}$, Rd/yMI

Pkt. 26: $y_f = 5.0 \text{ mm}, z_f = 57.5 \text{ mm}$ $\Delta \sigma_{x,Rd,f} = 69.6 \text{ N/mm}^2$ $\Delta \tau_{Rd,f} = 87.0 \text{ N/mm}^2$ $\Delta \sigma_z$.Rd.f = 87.0 N/mm²

Nachweis der Kerbspannungen

Pkt. 26: y = 5.0 mm, z = 57.5 mm $\Delta \sigma_{x,f} = 15.5 \text{ N/mm}^2 < \Delta \sigma_{x,Rd,f} = 69.6 \text{ N/mm}^2 \implies U_{\Delta \sigma x} = 0.223 \text{ ok.}$

 $\Delta \tau_f = 25.3 \text{ N/mm}^2 < \Delta \tau_{Rd,f} = 87.0 \text{ N/mm}^2$ \Rightarrow U_{$\Delta\tau$} = 0.291 ok.

 $\Delta \sigma_{z,f} = 28.7 \text{ N/mm}^2 < \Delta \sigma_{z,Rd,f} = 87.0 \text{ N/mm}^2 \implies U_{\Delta \sigma z} = 0.331 \text{ ok.}$

Interaction $U_i = U_{\Delta\sigma x}^3 + U_{\Delta\sigma z}^3 + U_{\Delta\tau}^5 = 0.049 < 1$ ok.

Neben den Nachweisen der einzelnen Spannungsschwingbreiten ist das Zusammenwirken von Normal- und Schubspannungen mittels Interaktion sicherzustellen, da

$$\Delta \tau_{Ed} = 38.4 \text{ N/mm}^2 > 5.9 \text{ N/mm}^2 = 0.15 \cdot \Delta \sigma_{Ed}$$

Im Endergebnis werden die maximale Ausnutzung max U sowie der maßgebende Kerbpunkt ausgegeben.

Endergebnis

Ermüdungsnachweis [Pkt. 33]: max U = 0.804 < 1 ok.

Nachweise erbracht

Kranbahn

Eine Kranbahn kann am Ober- oder Untergurt des Trägers laufen.

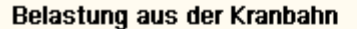
Kranbahn am Obergut

Verläuft die Kranbahn am Obergurt, wird der Träger durch das Rad einer Kranbahnachse belastet, das andere Rad der Achse fährt auf einem zweiten Träger.

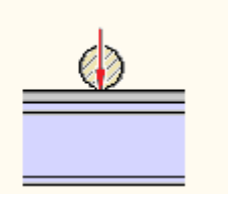
Das Rad läuft auf einer Schiene, die zentrisch über dem Trägersteg angeordnet ist. Dadurch wird die Kranbahnlast möglichst günstig in die Unterkonstruktion geleitet.

Für die lokalen Nachweise der Lasteinleitung, der Ermüdung und des Beulens sind die lokalen Spannungen aus der Radlast der Kranbahn zu berechnen.

Die Radlast setzt sich zusammen aus einer ggf. exzentrisch zur Trägerachse z wirkenden Druckkraft Fz.Ed sowie einer am Schienenkopf angreifende Horizontallast H_{Ed}.

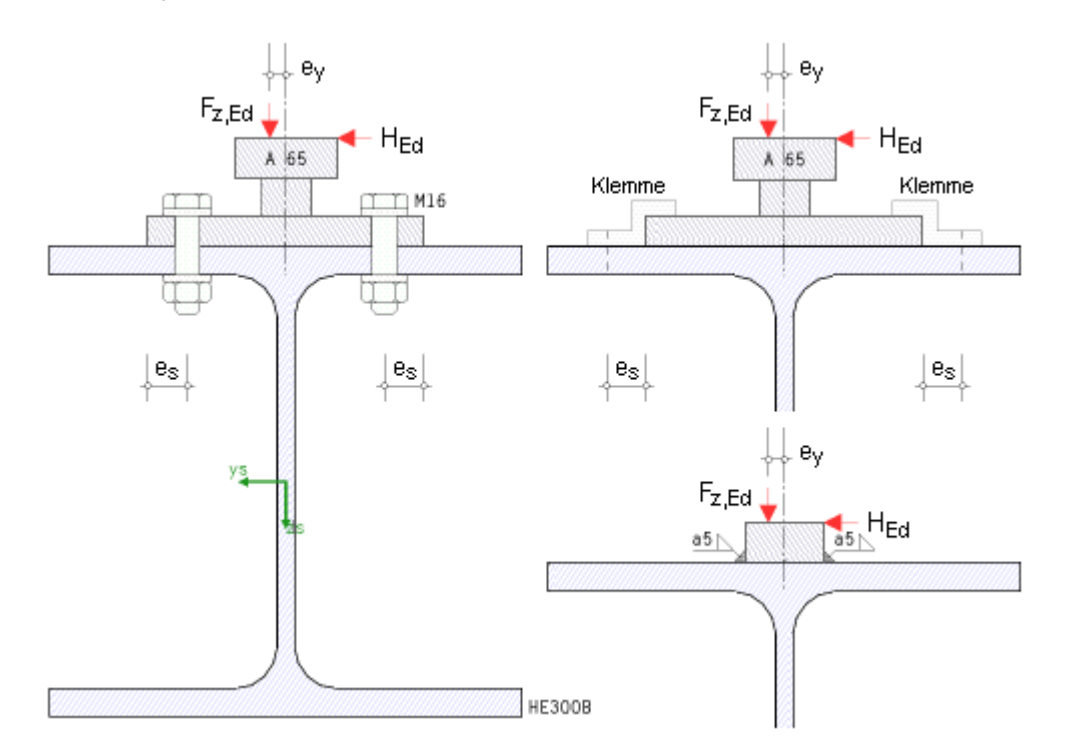


Radlast am Obergurt $F_{z,Ed}$ 80.00 Exzentrizität 20.00 mm еy seitliche Horizontallast HEd 17.50





Bei exzentrischen Querlasten sind stets Quersteifen im Steg anzuordnen!



In pcae-Programmen werden die Schienentypen Flachstahl, Form A und Form F unterstützt.

Die zur Berechnung erforderlichen Parameter werden aus den Abmessungen des Typs *Flachstahl* berechnet bzw. sind für die Typen *Form A* und *Form F* hinterlegt.

Über den Typ Sonderform können die Berechnungsparameter vom Anwender vorgegeben werden.

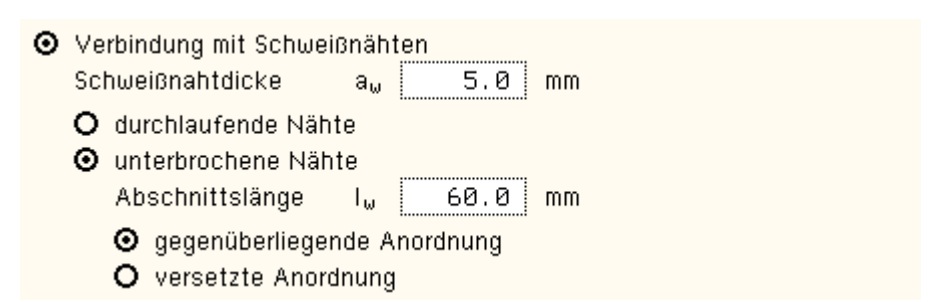
Schiene	Typ Form A 🔽 65 🔽
Fußbreite	b _f 175.0 mm + b _f +
Höhe (abgenutzt)	h' 68.0 mm †
Fläche (abgenutzt)	A' 5060.0 cm² h'
Trägheitsmoment (abgenutzt)	l'y 2410000.0 cm⁴ ———————————————————————————————————

Die Verbindung der Schiene mit dem Träger kann schubfest oder schwimmend erfolgen. Bei einer schubfesten Verbindung darf der (abgenutzte) Schienenquerschnitt dem Trägerquerschnitt zugeordnet werden.

Verbindung der Schiene mit dem Träger O schubfest ⊙ schwimmend

Eine schubfeste Verbindung kann durch Schweißnähte oder HV-Schrauben erfolgen.

Bei einer Verbindung mit Schweißnähten sind die Schweißnahtdicke und je nach Ausführung (durchlaufend oder unterbrochen mit gegenüberliegender oder versetzter Nahtanordnung) die Abschnittslänge der Naht anzugeben.



HV-Schrauben haben die Festigkeitsklassen 8.8 oder 10.9 und können nur an die breitfüßige Schiene *Form A* (ggf. *Sonderform*) angebracht werden. Hier ist der Abstand der Schrauben vom seitlichen Rand des Schienenfußes anzugeben.

⊚	Verbindung mit HV-Sc	hrauben nur Schiene Form A bzw. Sonderform
	Schraubengröße	16 ▼ □ Vorgabe
	Festigkeitsklasse	8.8 🔻 🔲 Vorgabe
	Abstand einer Schraub	oee _s 25.0 mm

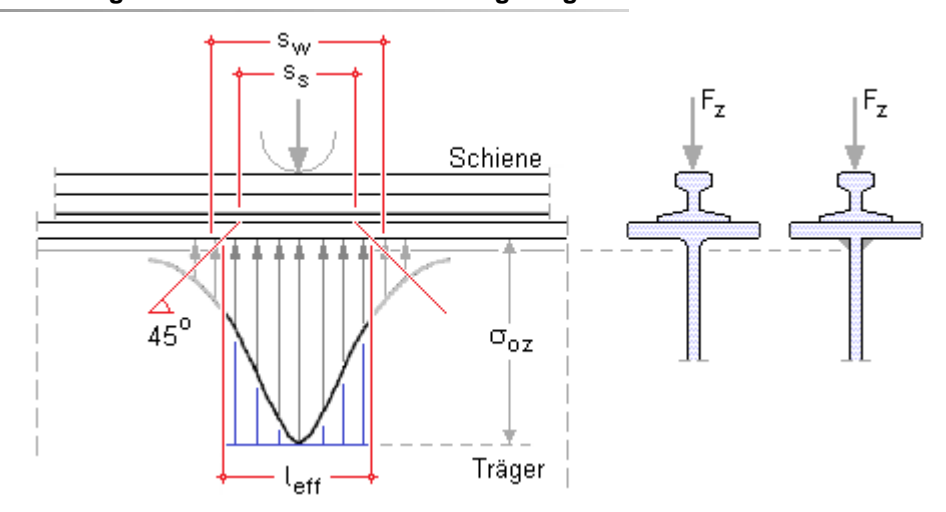
Eine schwimmende Verbindung kann über Klemmen hergestellt werden, wobei eine Klemmplatte den Schienenfuß am Trägergurt fixiert.

Eine elastische Schienenunterlage kann vorgesehen werden, die die Lasteinleitungsbreite der Radlasten erheblich reduziert.

Alternativ kann die schwimmende Verbindung mit Kehlnähten ausgeführt sein.

O Verbindung mit Kehlnähten

Berechnung der effektiven Lastausbreitungslänge



Die Lasteinleitung eines Kranbahnrads am Obergurt darf im Bereich der effektiven Lastausbreitungslänge l_{eff} als gleichmäßig verteilt angenommen werden.

Bezogen auf die Unterkante des oberen Trägerflanschs wird entspr. DIN EN 1993-6, Tab. 5.1, berechnet.

$$l_{eff} = 3.25 \cdot ((l_r + l_{f,eff})/t_w)^{1/3}$$
 Kranschiene nicht schubstarr am Flansch befestigt

$$l_{eff} = 4.25 \cdot \left(\left(l_r + l_{f,eff} \right) / t_w \right)^{1/3}$$
 Kranschiene auf einer mind. 6 mm dicken nachgiebigen Elastomerunterlage

I_{f,eff} Flächenmoment 2. Grades um die horizontale Schwerlinie des Flanschs mit der effektiven Breite b_{eff}

I, Flächenmoment 2. Grades um die horizontale Schwerlinie der Schiene

l_{rf} Flächenmoment 2. Grades um die horizontale Schwerlinie des zusammengesetzten Querschnitts einschl. Schiene und Flansch mit der effektiven Breite b_{eff}

t.,, Stegdicke

$$b_{eff} = b_{fr} + h_r + t_f$$
 ... aber ... $b_{eff} \le b$

b Gesamtbreite Obergurt

b_{fr} Breite Schienenfuß

h. Schienenhöhe

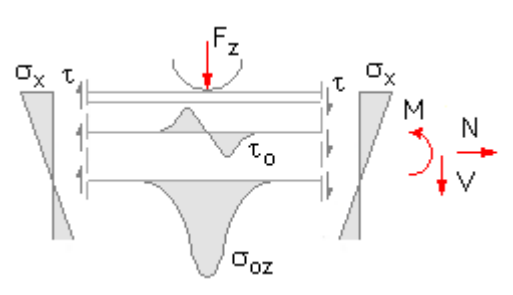
t₄ Flanschdicke

lokale Spannungen

Die Kranbahnlast wird über die Schiene in den Träger geleitet.

Bei aufgeschweißter Schiene wird davon ausgegangen, dass die Last nur über die Schweißnähte in den Träger übertragen wird.

Lokale Spannungen sind daher sowohl in der Wurzel der Schienennaht an der Flanschaußenkante des Trägers als auch im Trägersteg am Übergang zur Ausrundung (gewalztes Profil) oder Schweißnaht (geschweißter Blechträger) zu ermitteln.



$$\text{im Trägersteg} \quad \dots \quad \sigma_{oz} = \frac{F_{z,Ed}}{s_w \cdot t_w} \quad \text{und} \quad \tau_o = 0.2 \cdot \sigma_{oz} \quad \text{mit} \quad s_w = t_{eff} + 2 \cdot r \quad \text{oder} \quad t_{eff} + 2 \cdot a_w \cdot \sqrt{2}$$

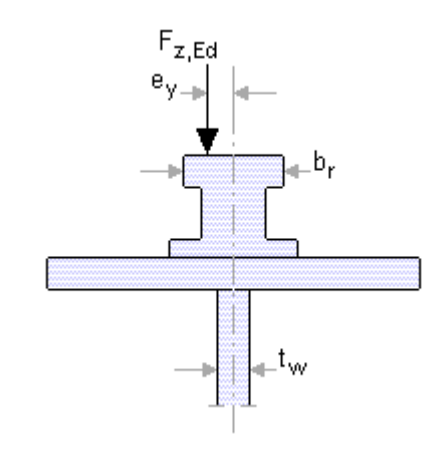
$$\text{in der Schienennaht} \quad \sigma_{oz} = \frac{F_{z,Ed}}{2 \cdot s_s \cdot a_w} \quad \dots \text{und} \quad \tau_o = 0.2 \cdot \sigma_{oz} \quad \dots \text{mit} \quad s_s = t_{eff} - 2 \cdot t_{fo}$$

exzentrische Lasteinleitung

I.A. ist eine Exzentrizität der Radlast am Schienenkopf nicht auszuschließen, die zu einer Stegbiegung im Bereich des Obergurts führt.

Die Exzentrizität braucht allerdings nur bei Kranklassen S3 bis S9 berücksichtigt zu werden (s. EC 3-6, 9.3.3(1)).

Nach EC 1-3 sollte die Exzentrizität als Bruchteil der Schienenkopfbreite (s. EC 1-3, 2.5.2.1(2): $e_v = 0.25 \cdot b_r$) angenommen werden.



Bei quer ausgesteiftem Träger wird die Stegbiegespannung berechnet mit

$$\sigma_{T,Ed} = \frac{6 \cdot T_{Ed}}{a \cdot t_{w}^2} \cdot \eta \cdot \tanh(\eta) \quad ... \quad mit \quad ... \quad \eta = \left(\frac{0.75 \cdot a \cdot t_{w}^3}{I_t} \cdot \frac{\sinh^2(\eta \cdot h_w/a)}{\sinh(2 \cdot \eta \cdot h_w/a) - 2 \cdot \pi \cdot h_w/a}\right)^{0.5}$$

a Abstand der Quersteifen im Steg

h,,, Gesamthöhe des Stegs als lichter Abstand zwischen den Flanschen

I_t Torsionsträgheitsmoment des Flanschs (einschl. Schiene, falls schubstarr fest)

T_{Ed} = F_{z,Ed}·e_v Torsionsmoment aus exzentrischer Radlast

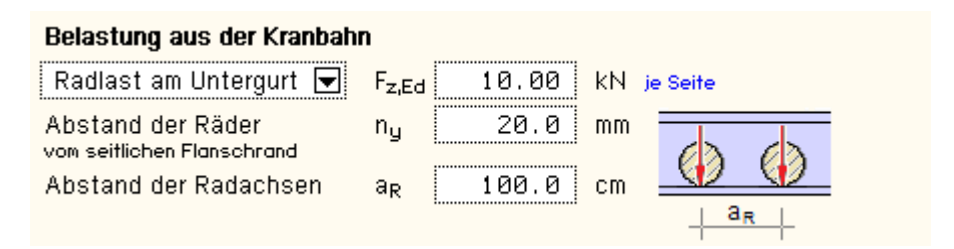
e_v Exzentrizität e der Radlast, wobei e_v≥0.5·t_w

t.,, Stegblechdicke

Kranbahn am Untergurt

Eine Kranbahn kann auch am Untergurt angebracht sein. Im Gegensatz zur Obergurtbahn hängt sie normalerweise mit beiden Rädern an einem Träger, wobei die Räder links und rechts direkt auf dem unteren Flansch laufen.

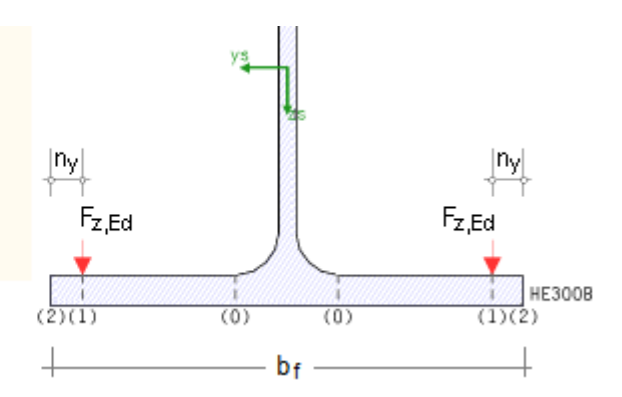
Der Abstand der Räder vom seitlichen Flanschrand und der Abstand zwischen den Radachsen sind anzugeben.



Bei der Unterflanschkranbahn bleibt eine ggf. auftretende Horizontallast bei den lokalen Nachweisen unberücksichtigt. Um die wirksame Lasteinleitungslänge zu berechnen, ist der Nachweisort anzugeben.

Nachweisort

- O Rad außerhalb der Trägerendbereiche
- O Rad am Trägerende (ungestützter Unterflansch)
- Rad am Trägerende (gestützter Unterflansch)
 Abstand des Rads x_e 40.0 cm
 vom Trägerende
- O Rad am Trägerende (Prelibock)



wirksame Lasteinleitungslänge

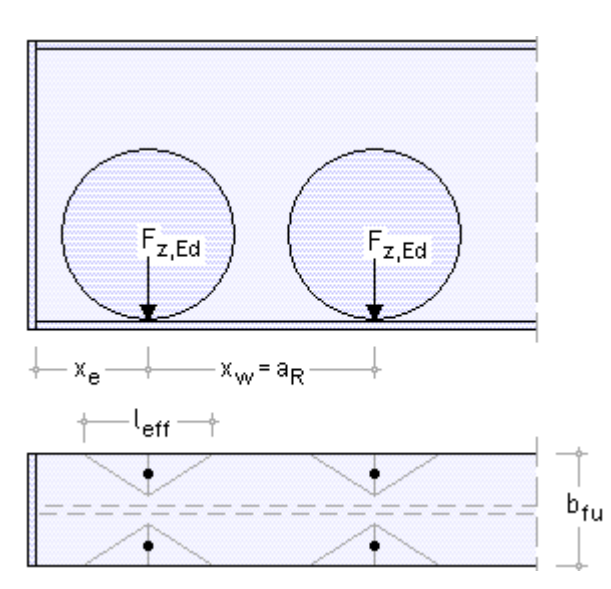
In Abhängigkeit vom Nachweisort wird die effektive Lasteinleitungslänge auf dem Untergurt berechnet mit (DIN EN 1993-6, Tab. 6.2)

Rad an einem ungestützen Flanschende

Rad außerhalb der Trägerendbereiche

$$4 \cdot \sqrt{2} \cdot (m+n)$$
 für $x_{var} \ge 4 \cdot \sqrt{2} \cdot (m+n)$

$$2 \cdot \sqrt{2} \cdot (m+n) + 0.5 : x_{wv} \dots \text{ für } \dots x_{wv} \le 4 \cdot \sqrt{2} \cdot (m+n)$$



Rad in einem Abstand $x_e \le 2 \cdot \sqrt{2} \cdot (m+n)$ von einem Prellbock, am Trägerende

$$2 \cdot (m+n) \cdot \left[x_e/m + \sqrt{1 + (x_e/m)^2} \right]$$
 ... aber ... $\leq \sqrt{2} \cdot (m+n) + x_e$... für ... $x_w \geq 2 \cdot \sqrt{2} \cdot (m+n) + x_e$

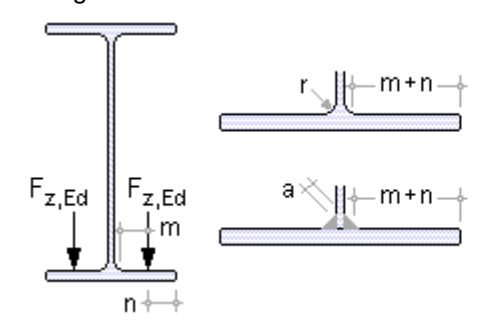
$$2 \cdot \left(m + n\right) \cdot \left(x_e / m + \sqrt{1 + \left(x_e / m\right)^2}\right) \ \dots \ \text{aber} \ \dots \ \le \sqrt{2} \cdot \left(m + n\right) + 0.5 \\ : \left(x_w + x_e\right) \ \dots \ \text{für} \ \dots \ x_w \le 2 \cdot \sqrt{2} \cdot \left(m + n\right) + x_e$$

Rad in einem Abstand $x_e \le 2 \cdot \sqrt{2} \cdot (m+n)$ am gestützten Flanschende, das entweder unten oder durch ein angeschweißte Stirnplatte gelagert ist

$$2 \cdot \sqrt{2} \cdot (m+n) + x_e + 2 \cdot (m+n)^2 / x_e$$
 für ... $x_m \ge 2 \cdot \sqrt{2} \cdot (m+n) + x_e + 2 \cdot (m+n)^2 / x_e$

$$\sqrt{2} \cdot (m+n) + 0.5 \cdot (x_w + x_e) + (m+n)^2 / x_e$$
 ... für ... $x_w \le 2 \cdot \sqrt{2} \cdot (m+n) + x_e + 2 \cdot (m+n)^2 / x_e$

wobei gilt



x_e Abstand vom Trägerende bzw. von der Stützung am Trägerende zur Schwerlinie des Rads

x_w=a_R Abstand der Räder voneinander

m Abstand von der Schwerlinie des Rads zum Steg abzgl. 80% des Ausrundungsradius' bzw. Schweißnahtschenkels

n=n_y Abstand von der Schwerlinie des Rads zum seitlichen Flanschrand

lokale Spannungen

Die Biegespannungen, die durch eine Untergurtbahn erzeugt werden, sind an den bezeichneten Stellen (0 = Übergang von Steg zum Flansch), (1 = Schwerlinie der Lasteinleitung) und (2 = äußere Flanschkante) zu berücksichtigen.

Unter der Voraussetzung, dass die Radlasteinleitung in einem Abstand größer b_f vom Trägerende (x_e > b_f, s. wirksame **Lasteinleitungslänge**) erfolgt, können die Biegespannungen ermittelt werden mit

$$\sigma_{\text{ox,Ed}} = c_x \cdot F_{z,Ed} / t_f^2 \dots \text{ und } \dots \sigma_{\text{oy,Ed}} = c_y \cdot F_{z,Ed} / t_f^2$$

Die Koeffizienten dürfen bestimmt werden zu (DIN EN 1993-6, Tab. 5.2; c_{xi} und c_{yi} sind positiv bei Zugspannungen an der Flanschunterseite)

	parallele Flansche	geneigte Flansche
Längsbiegespannung ^O ox,Ed	$c_{x0} = 0.050 - 0.580 \cdot \mu + 0.148 \cdot e^{3.015 \mu}$ $c_{x1} = 2.230 - 1.490 \cdot \mu + 1.390 \cdot e^{-18.33 \mu}$ $c_{x2} = 0.730 - 1.580 \cdot \mu + 2.910 \cdot e^{-6.00 \mu}$	$c_{\times 0} = -0.981 - 1.479 \cdot \mu + 1.120 \cdot e^{1.322 \cdot \mu}$ $c_{\times 1} = 1.810 - 1.150 \cdot \mu + 1.060 \cdot e^{-7.700 \cdot \mu}$ $c_{\times 2} = 1.990 - 2.810 \cdot \mu + 0.840 \cdot e^{-4.690 \cdot \mu}$
Querbiegespannung Goy,Ed	c_{y0} = -2.110 + 1.977 : μ + 0.0076 · $e^{6.530}$ μ c_{y1} = 10.108 - 7.408 : μ - 10.108 · $e^{-1.364}$ μ c_{y2} = 0.0	c_{y0} = -1.096 + 1.095 · μ + 0.192 · $e^{-6.00}$ μ c_{y1} = 3.965 - 4.835 · μ - 3.965 · $e^{-2.675}$ μ c_{y2} = 0.0

wobei

$$\mu = 2 \cdot n_y / (b - t_w)$$



Geneigte Flansche werden nicht berücksichtigt.

Erfolgt die Radlasteinleitung am Trägerende und ist der Unterflansch unverstärkt, ist die Querbiegespannung mindestens anzunehmen mit

$$\sigma_{\text{oy,end,Ed}} = (5.6 - 3.225 \cdot \mu - 2.8 \cdot \mu^3) \cdot F_{z,Ed} / t_f^2$$

Ist der Abstand zwischen zwei benachbarten Radlasten $< 1.5 \cdot b_f$, sind die für jedes Rad getrennt berechneten Spannungen zu überlagern.



Die Spannungen werden addiert.

zur Hauptseite 4H-EC3EM, Ermüdungsnachweis

7

© pcae GmbH Kopernikusstr. 4A 30167 Hannover Tel. 0511/70083-0 Fax 70083-99 Mail dte@pcae.de